



Дмитриев М.В.

**Грозовые перенапряжения  
на оборудовании РУ 35-750 кВ  
и защита от них**

Санкт-Петербург  
2008

## СОДЕРЖАНИЕ

ВВЕДЕНИЕ	3
1. ПРИНЦИПЫ ЗАЩИТЫ РУ ОТ ГРОЗОВЫХ ПЕРЕНАПРЯЖЕНИЙ	5
1.1. Обустройство защищенных подходов	5
1.2. Расстановка защитных аппаратов	10
1.3. Отказ от грозозащитных тросов	14
1.4. Характеристики ОПН, устанавливаемых на входе РУ	16
1.5. Совместная работа ОПН и вентильных разрядников	18
1.6. Эффективное подключение защитных аппаратов	23
1.7. Защита нетиповых РУ	24
1.8. Особенности защиты РУ 6-10 кВ	25
2. РАСЧЕТНАЯ МОДЕЛЬ ДЛЯ АНАЛИЗА ГРОЗОВЫХ ПЕРЕНАПРЯЖЕНИЙ	27
2.1. Модель распределительного устройства	27
2.2. Модель присоединенных к РУ воздушных линий	28
2.3. Моделирование импульса тока молнии	31
2.4. Статистический метод, используемый для анализа грозовых перенапряжений на оборудовании РУ	32
3. ПРИМЕР РАСЧЕТА ГРОЗОВЫХ ПЕРЕНАПРЯЖЕНИЙ	34
3.1. Расчет допустимых расстояний от оборудования до защитных аппаратов в зависимости от их типа	34
3.2. Расчет необходимой длины тросового подхода ВЛ	44
3.3. Каскадные схемы защиты оборудования и их эффективность	46
3.4. Учет обратных перекрытий на присоединенных ВЛ	48
3.5. Оценка числа лет безаварийной работы оборудования при грозовых перенапряжениях	51
4. АНАЛИЗ НОРМАТИВНЫХ ДОКУМЕНТОВ И ПРЕДЛОЖЕНИЯ ПО ИХ КОРРЕКТИРОВКЕ	53
4.1. Анализ требований ПУЭ в части грозозащиты РУ	53
4.2. Предложения по корректировке ПУЭ	55
ЗАКЛЮЧЕНИЕ	57
СПИСОК ИСПОЛЬЗОВАННЫХ ИСТОЧНИКОВ	59

## **ВВЕДЕНИЕ**

В процессе эксплуатации изоляция оборудования распределительных устройств (РУ) подвергается воздействию рабочего напряжения, а также различных видов перенапряжений, среди которых важное место занимают грозовые (атмосферные).

*По данным ОРГРЭС только за период с 1997г. по 2001г. в результате атмосферных воздействий повредилось силовых трансформаторов – 68 шт., измерительных трансформаторов – 124.*

*Например, 25.06.04 г. произошел пробой изоляции автотрансформатора 330 кВ на ПС «Тихорецкая» МЭС Юга во время грозы. Экономический ущерб составил 69,164 млн. рублей.*

Грозовые перенапряжения представляют реальную опасность для оборудования сетей практически всех классов номинального напряжения и, следовательно, требуют разработки и внедрения эффективных защитных мер, одной из которых является применение специальных защитных аппаратов (ЗА) – вентильных разрядников (РВ) и ограничителей перенапряжений нелинейных (ОПН).

Защитные свойства РВ и ОПН основаны на нелинейности вольтамперной характеристики их рабочих элементов, обеспечивающей заметное снижение сопротивления при повышенных напряжениях и возврат в исходное состояние после снижения напряжения до нормального рабочего. Низкая нелинейность вольтамперной характеристики рабочих элементов в разрядниках не позволяла обеспечить одновременно и достаточно глубокое ограничение перенапряжений, и малый ток проводимости при воздействии рабочего напряжения, от которого удалось отстроиться за счет введения последовательно с нелинейным элементом искровых промежутков. Значительно большая нелинейность окисно-цинковых сопротивлений (варисторов) ограничителей перенапряжений ОПН позволила отказаться от использования в их конструкции искровых промежутков, т.е. нелинейные элементы ОПН присоединены к сети в течение всего срока его службы.

В настоящее время вентильные разрядники практически сняты с производства и в большинстве случаев отслужили свой нормативный срок службы. Построение схем защиты изоляции оборудования как новых, так и модернизируемых распределительных устройств, от грозовых и коммутационных перенапряжений теперь оказывается возможным только с использованием ОПН.

Идентичность функционального назначения РВ и ОПН и кажущаяся простота конструкции последнего часто приводят к тому, что замену разрядников на ограничители перенапряжений проводят без проверки допустимости и эффективности использования устанавливаемого ОПН в рассматриваемой точке сети. Вместе с тем разработанные несколько десятилетий назад типовые схемы защиты изоляции оборудования от перенапряжений ориентировались лишь на использование вентильных разрядников и были получены в упрощенных расчетных моделях, так как возможности вычислительной техники были весьма ограничены. Кроме того, эти применяемые до сих пор схемы не учитывают

значительного опыта эксплуатации, накопленного за время их существования в энергосистемах.

В частности, вопросы защиты оборудования РУ от грозовых перенапряжений с помощью вентильных разрядников рассмотрены в правилах устройства электроустановок (ПУЭ), где для различных схем открытых распределительных устройств в зависимости от числа и типа вентильных разрядников даны максимальные расстояния до оборудования. Впервые требования ПУЭ в части расстояний от вентильных разрядников до защищаемого оборудования были сформулированы еще в 1961 году с помощью так называемых анализаторов грозозащиты и с тех пор не пересматривались.

В последней (7-й) редакции ПУЭ впервые помимо вентильных разрядников в качестве защитного аппарата от грозовых перенапряжений на оборудовании РУ рассматривается также и ОПН. В этой редакции ПУЭ допустимые расстояния от оборудования РУ до ОПН предлагаются определять в соответствии с защитными характеристиками ОПН на основе требований к расстояниям до вентильных разрядников, приведенных в предыдущих редакциях ПУЭ. Следовательно, за основу построения защиты оборудования РУ от грозовых перенапряжений в последней редакции ПУЭ приняты все те же требования 1961 года, полученные в весьма упрощенной постановке на анализаторах грозозащиты и не учитывающие полуавтоматический опыт эксплуатации, накопленный в энергосистемах.

Развитие компьютерной техники и специализированного программного обеспечения позволяют на новом уровне проводить расчеты переходных процессов в электрических сетях для оптимизации схем защиты изоляции оборудования от перенапряжений и обоснованного выбора основных характеристик защитных аппаратов. Однако, несмотря на возможности моделирования и расчетов переходных процессов, в России до сих пор широко используются наработки многолетней давности, что вызвано отсутствием простых в использовании и достаточно обоснованных современных методик расчета различных видов перенапряжений.

Сложившийся в России в области защиты изоляции оборудования от перенапряжений недостаток нормативных документов и методик расчета, учитывающих накопленный опыт эксплуатации, усугубляется массовым внедрением в энергетику страны защитных аппаратов типа ОПН, при использовании которых зачастую некорректно решаются задачи по выбору числа ОПН, мест их установки и основных характеристик, что является причиной повышенной аварийности как защищаемого оборудования, так и самих ОПН.

Ниже, с учетом современного уровня знаний и возможностей моделирования, рассмотрены основные проблемы, которые необходимо решать при построении схем защиты изоляции оборудования РУ от грозовых перенапряжений с помощью защитных аппаратов типа ОПН.

# 1. ПРИНЦИПЫ ЗАЩИТЫ РУ ОТ ГРОЗОВЫХ ПЕРЕНАПРЯЖЕНИЙ

Основной причиной грозовых перенапряжений на изоляции оборудования распределительных устройств 35-750 кВ являются воздействия молний на присоединенные воздушные линии (ВЛ), вызывающие образование грозовых волн, распространяющихся вдоль ВЛ. Защита изоляции оборудования РУ от набегающих по ВЛ грозовых волн основана на ряде мероприятий [1-4]:

- обустройство защищенных подходов воздушных линий к распределительному устройству, на которых приняты меры по снижению числа грозовых волн с опасными параметрами, возникающих на изоляции ВЛ вследствие ударов молний;
- установка в выбранные места защитных аппаратов (ЗА) с необходимыми характеристиками (ранее – вентильных разрядников РВ, теперь – нелинейных ограничителей перенапряжений ОПН).

## 1.1. Обустройство защищенных подходов

При анализе грозовых перенапряжений в РУ 35-750 кВ основными расчетными случаями являются прямые удары молний в присоединенные ВЛ:

- удары молний в фазные провода (например, точка 1 на рис.1.1);
- удары молний в опоры (например, точка 2 на рис.1.1);
- удары молний в тросы (например, точка 3 на рис.1.1).

Для сетей 35-750 кВ с ударами молний в землю вблизи от трассы ВЛ, приводящими к возникновению индукированных перенапряжений, можно не считаться в силу относительно небольшой величины этих перенапряжений по сравнению с прочностью изоляции ВЛ и оборудования РУ.

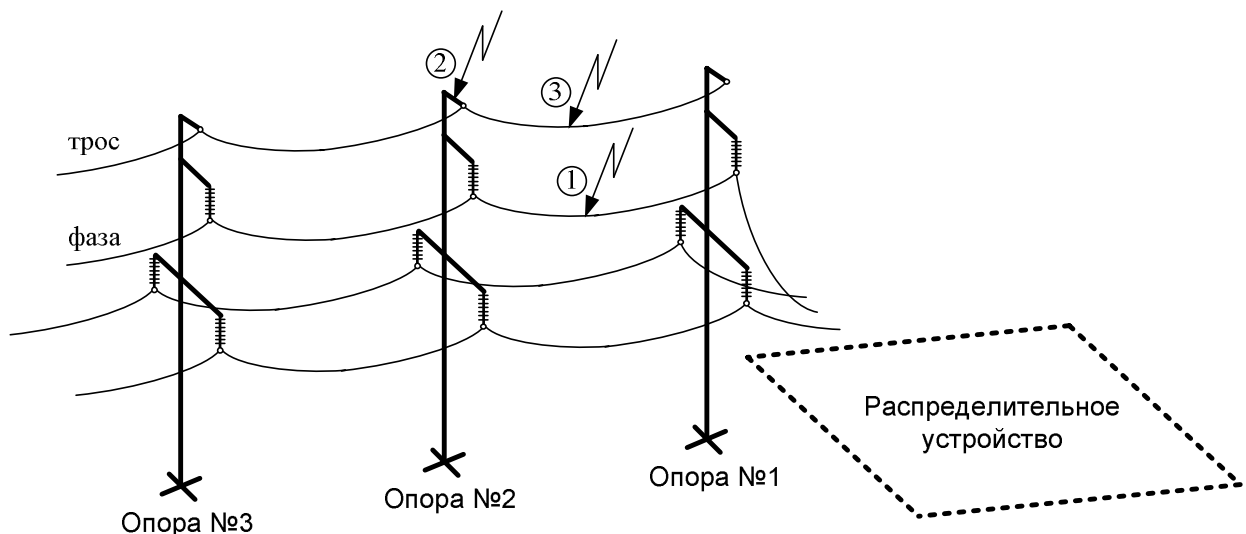


Рис.1.1. Возможные места ударов молний в воздушную линию.

Требования к обустройству так называемых защищенных подходов воздушных линий к РУ приведены в ПУЭ [3] и направлены на снижение числа набегающих с ВЛ опасных грозовых волн, вызванных ударами молний в фазные провода, в опоры и тросы. При этом предполагается, что после реализации комплекса мер число возникающих на защищенном подходе опасных грозовых

волн уменьшается. Решения требует вопрос о достаточной длине защищенного подхода.

Для обустройства защищенных подходов ПУЭ предписывает:

- установку на подходах присоединенных к РУ воздушных линий одного или нескольких грозозащитных (молниезащитных) тросов, обеспечивающих снижение вероятности прямого удара молнии в фазные провода ВЛ и соответствующее снижение числа образовывающихся на фазных проводах грозовых волн;
- выбор оптимального положения тросов на опоре, обеспечивающего минимальную вероятность прорыва молнии на фазные провода (снижение угла  $\alpha$  на рис.1.2, а также увеличение расстояния по вертикали от троса до фазного провода);
- снижение сопротивления заземления опор ВЛ, в результате чего при ударе молнии в заземленный трос или опору линии уменьшается вероятность обратных перекрытий с тела опоры на фазные провода, т.е. вероятность появления на изоляции РУ грозовых волн с крутым фронтом.

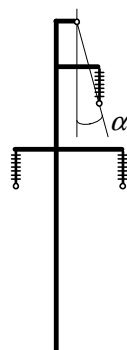


Рис.1.2. Определение угла  $\alpha$  тросовой защиты на опоре воздушной линии.

Для иллюстрации различий между понятиями тросового и защищенного подходов на рис.1.3 схематично показан участок одноцепной линии вблизи от распределительного устройства. Тросовый подход – это участок ВЛ, на котором установлен грозозащитный трос, тогда как защищенный подход – это участок ВЛ, на котором реализован отмеченный выше комплекс мероприятий, включающий и применение тросов, и повышенное внимание к заземлителям опор. Из определения следует, что длина защищенного подхода не превосходит длины тросового подхода.

На длине тросового подхода подавляющее число ударов молнии приходится на опоры и тросы, а удары в фазные провода маловероятны. На длине защищенного подхода так же подавляющее число ударов молнии приходится на опоры и тросы, но при этом такие удары в опоры и тросы из-за малого сопротивления заземления опор «почти» не дают обратных перекрытий на фазные провода.

За пределами тросового подхода примерно половина ударов молнии в ВЛ приходится на опоры, а другая половина – на фазные провода, т.е. число образовывающихся на проводах волн грозовых перенапряжений существенно

возрастает по сравнению с теми, которые образуются на длине тросового и защищенного подходов.

При построении схем защиты РУ от грозовых перенапряжений оперируют еще одним понятием, а именно длиной «опасного подхода» – любой удар молнии в ВЛ (в трос, опору, фазу) на расстоянии от РУ, большем чем длина опасного подхода, вследствие заметного увеличения длительности фронта грозовой волны из-за импульсной короны на проводах ВЛ и потерь в земле никогда не приведет к возникновению на оборудовании РУ опасных грозовых перенапряжений (при этом опасными считаются те перенапряжения, величина которых больше определенного значения, принятого за максимально допустимое). И наоборот: все разряды молний в ВЛ (в трос, опору, фазу) на длине опасного подхода потенциально опасны для изоляции оборудования РУ с точки зрения грозовых перенапряжений.

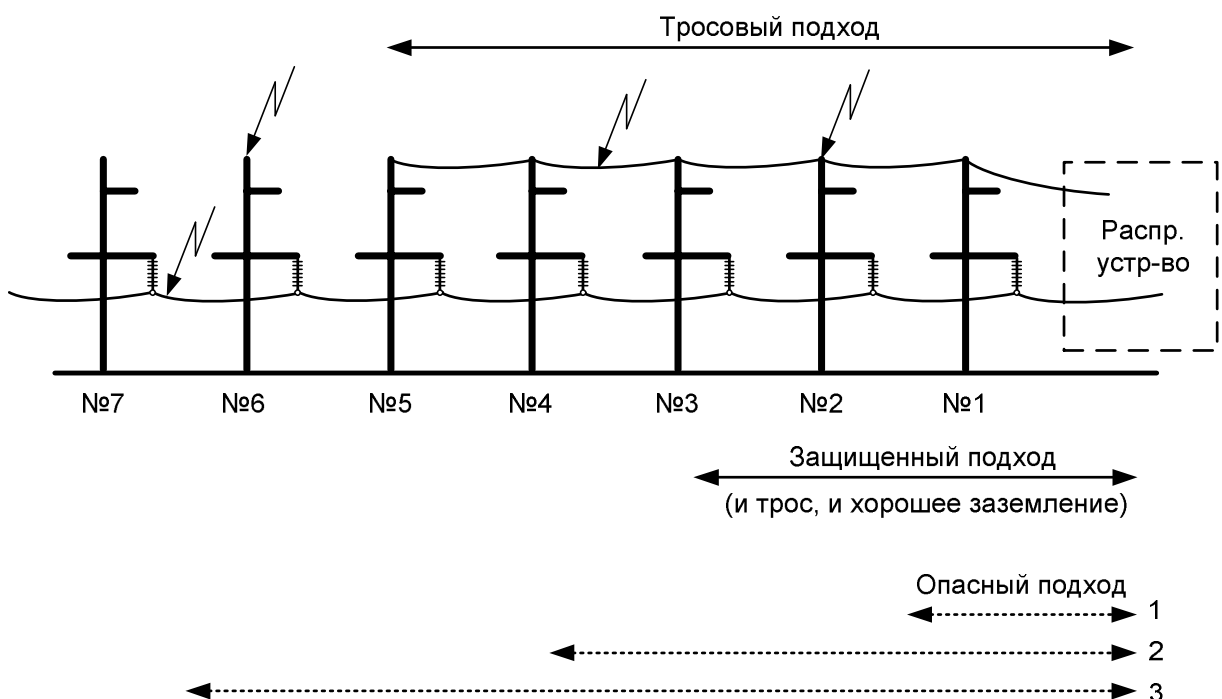


Рис.1.3. Обустройство подхода воздушной линии к распределительному устройству.

На рис.1.3 показаны несколько возможных сочетаний длины опасного подхода с длинами защищенного и тросового подходов. Если длины защищенного и тросового подходов, как правило, известны, то конкретное значение длины опасного подхода может быть определено лишь в результате сложных расчетов грозовых перенапряжений на оборудовании распределительного устройства. Такие расчеты выполняются с учетом данных о местах расположения, типе и характеристиках защитных аппаратов (разрядников или ОПН), установленных в РУ. Описание расчетной модели и пример расчета приведены, соответственно, во 2-й и 3-й главе.

Длина опасного подхода является характеристикой того, насколько эффективно в распределительном устройстве выбраны места установки ЗА и насколько хороши их защитные характеристики. Малая длина опасного подхода

свидетельствует о высокой эффективности работы установленных защитных аппаратов и может быть достигнута:

- за счет простого увеличения числа защитных аппаратов в РУ по сравнению с типовыми решениями;
- за счет оптимизации расположения защитных аппаратов; при этом нередко удается снизить число защитных аппаратов по сравнению с типовыми решениями;
- за счет улучшения защитных характеристик ЗА.

Достижение высоких показателей грозоупорности за счет примитивного увеличения числа защитных аппаратов в РУ не рекомендуется, поскольку всегда существует риск повреждения таких ЗА (например, под рабочим напряжением сети вследствие увлажнения и проч.), который тем больше, чем большее число комплектов ЗА установлено. В частности, если повредился защитный аппарат, установленный на сборных шинах, то последствия этого могут быть очень серьезными – вплоть до полного погашения подстанции, так как ЗА не имеют собственных выключателей. Лишь при установке ЗА у силовых (авто)трансформаторов или на входе присоединенных к РУ линий (воздушных и кабельных) возможно быстро отключить поврежденное оборудование выключателями (авто)трансформатора или линии соответственно.

Повышение грозоупорности РУ за счет оптимизации расположения ЗА может только приветствоваться, однако, к сожалению, нередко вступает в формальное (а не по существу) противоречие с обязательными к исполнению требованиями ПУЭ 7-й редакции.

Улучшение защитных характеристик ЗА достигается, например, при замене разрядников на ОПН, так как последние быстрее вступают в работу по ограничению грозовых перенапряжений и, кроме того, имеют сниженные остающиеся напряжения при грозовых импульсных токах.

Оптимизация расположения защитных аппаратов и замена разрядников на ОПН целесообразна не только с технической, но и с экономической точки зрения. Достижение высоких расчетных показателей грозоупорности позволяет надеяться, что при разрядах молнии и грозовых перенапряжениях будет обеспечено максимально надежное электроснабжение потребителей и максимально длительный срок безаварийной эксплуатации дорогостоящего высоковольтного оборудования.

При заданной (оптимизированной или нет) схеме расстановки, типе и характеристиках ЗА в РУ (т.е. при известной по результатам расчетов длине  $l_{опасн}$ ) важную роль играет соотношение длины опасного подхода  $l_{опасн}$  с длинами тросового  $l_{TP}$  и защищенного  $l_{ЗАЩ}$ . Это соотношение является своеобразной качественной характеристикой, позволяющей оценить возможность дальнейшего повышения грозоупорности РУ за счет снижения числа потенциально опасных грозовых волн, приходящих с присоединенных воздушных линий. Соответствующие рассуждения в сжатой форме даны в табл.1.1.

Табл.1.1. Качественная характеристика защищенности РУ от грозовых перенапряжений при известном по результатам расчетов значении  $l_{\text{ОПАСН}}$ , т.е. при заданных местах установки, типе и характеристиках ЗА.

Вариант РУ	Условие по рис.1.3	Комментарии
1	$l_{\text{ОПАСН}} < l_{\text{ЗАЩ}} < l_{\text{TP}}$	Число потенциально опасных для РУ волн максимально снижено за счет обустройства защищенного подхода достаточной длины
2	$l_{\text{ЗАЩ}} < l_{\text{ОПАСН}} < l_{\text{TP}}$	Число потенциально опасных для РУ волн приемлемо, поскольку лишь на части опасного подхода не выполнены требования к снижению сопротивления заземления опор
3	$l_{\text{ЗАЩ}} < l_{\text{TP}} < l_{\text{ОПАСН}}$	Число потенциально опасных для РУ волн слишком велико, так на части длины опасного подхода не установлено троса и не выполнены требования к снижению сопротивления заземления опор

Тросовый, защищенный и опасный подходы могут иметь различную длину для каждой из присоединенных к РУ воздушных линий. Следовательно, для каких-то из линий соотношение между указанными длинами может быть оптимальным, а для других – неоптимальным.

Схема расстановки, тип и характеристики ЗА для большинства РУ, находящихся в эксплуатации, соответствуют первому варианту из табл.1.1, точнее условию  $l_{\text{ОПАСН}} < l_{\text{TP}}$ . Здесь опущена длина  $l_{\text{ЗАЩ}}$  защищенного подхода, поскольку, как правило, в сетях все же нет достоверных данных о сопротивлениях заземления опор ВЛ, а если такие данные имеются, то они, за редким исключением, относятся к измерениям сопротивления заземления на низкой частоте (или на постоянном токе) и не позволяют судить о важном при грозовых процессах импульсном сопротивлении заземления опор.

Наблюдаемое в эксплуатации превышение длиной троса  $l_{\text{TP}}$  длины опасного подхода  $l_{\text{ОПАСН}}$  не имеет смысла с точки зрения грозоупорности РУ, поскольку все разряды молний в ВЛ за пределами  $l_{\text{ОПАСН}}$  безопасны для оборудования. Поэтому в ряде случаев, если в этом есть необходимость, можно пойти на отказ от троса за пределами примыкающего к РУ участка длиной  $l_{\text{ОПАСН}}$  без ухудшения грозоупорности РУ (случай №1 по табл.1.1). Очевидно, что отказ от троса окажет влияние на число отключений самой ВЛ, но этот вопрос следует рассматривать отдельно, поскольку важно учесть сразу несколько факторов:

- снизится число обрывов троса и его падений на фазные провода ВЛ;
- возрастет число перекрытий изоляции ВЛ при грозовых перенапряжениях.

Наблюдаемое в эксплуатации превышение длиной троса  $l_{\text{TP}}$  длины опасного подхода  $l_{\text{ОПАСН}}$  еще не означает достаточной защищенности РУ. Напротив, расчеты и опыт эксплуатации свидетельствуют о недостаточной защищенности типовых РУ от грозовых перенапряжений (об этом говорилось во введении): хотя условие  $l_{\text{ОПАСН}} < l_{\text{TP}}$  (или  $l_{\text{ОПАСН}} < l_{\text{ЗАЩ}} < l_{\text{TP}}$ ) выполняется, сама по себе длина  $l_{\text{ОПАСН}}$  оказывается велика, т.е. в примыкающий к РУ участок ВЛ длиной  $l_{\text{ОПАСН}}$

приходится слишком большое число разрядов молний, каждый из которых повышает вероятность повреждения оборудования, снижая надежность схемы.

Если оптимизировать схему расстановки защитных аппаратов в РУ, то это приведет к снижению длины  $l_{\text{ОПАСН}}$ , конкретная величина которой может быть настолько малой, что оказывается возможным отказаться от троса на присоединенных к РУ воздушных линиях без ухудшения защищенности РУ от грозовых перенапряжений.

Количественной характеристикой защищенности РУ от грозовых перенапряжений является число  $n$  раз в году, когда грозовые перенапряжения на оборудовании превзошли допустимый для изоляции уровень. Большее распространение получила обратная величина – так называемое «число лет безаварийной работы при грозовых перенапряжениях»  $M = 1/n$  (лет). Формальным критерием достаточности защищенности РУ от грозовых перенапряжений является выполнение условия  $M > M_{\text{РД}}$ , где  $M_{\text{РД}}$  – минимально допустимое число лет безаварийной работы, установленное для каждого класса номинального напряжения и прописанное в руководящем документе [1]. Максимальные расчетные показатели  $M$  достигаются при минимальных расчетных длинах  $l_{\text{ОПАСН}}$ .

## 1.2. Расстановка защитных аппаратов

В качестве примера рассмотрим приведенную на рис.1.4 схему РУ с несколькими присоединенными линиями и (авто)трансформаторами. Предположим, с ВЛ-1 на РУ набегает грозовая волна, которая, в частности, создает грозовые перенапряжения на изоляции силового трансформатора Т. Для защиты Т и другого оборудования от перенапряжений в схеме РУ следует предусмотреть установку защитных аппаратов. Места установки в распределительном устройстве защитных аппаратов типа РВ и ОПН определены в правилах устройства электроустановок ПУЭ, где в качестве типового решения ЗА устанавливаются в непосредственной близости от обмоток силовых (авто)трансформаторов. Кроме того, многие типовые РУ имеют ЗА, размещенные у измерительных трансформаторов напряжения (ТН) на сборных шинах.

Схеме рис.1.4 соответствует рис.1.5, где условно показано, каким образом различное оборудование распределительного устройства располагается по ходу набегающей с воздушной линии ВЛ-1 грозовой волны. На рис.1.5 в качестве защитного аппарата у трансформатора Т для определенности изображен ОПН.

В расчетах грозовых перенапряжений трансформаторы и другие высоковольтные аппараты заменяются своими входными емкостями – на рис.1.5 можно видеть емкости силового трансформатора и измерительного трансформатора напряжения.

Учитывая конечную скорость электромагнитных волн при их распространении по проводам ВЛ и ошиновке РУ, грозовые перенапряжения в схеме рис.1.5 могут возникать

- на изоляции Т только в том случае, когда грозовая волна прошла за точку установки ЗА; при этом возникающие на Т перенапряжения определяются защитными характеристиками ЗА;
- на изоляции ТН даже в том случае, когда грозовая волна еще не дошла до ЗА, т.е. ЗА не вступил в работу по ограничению перенапряжений; при этом возникающие на ТН перенапряжения определяются в большей степени амплитудой грозовой волны, набегающей с ВЛ (т.е. сопоставимы с импульсной прочностью изоляции ВЛ, которая значительно выше изоляции оборудования РУ), а в меньшей степени – защитными характеристиками ЗА.

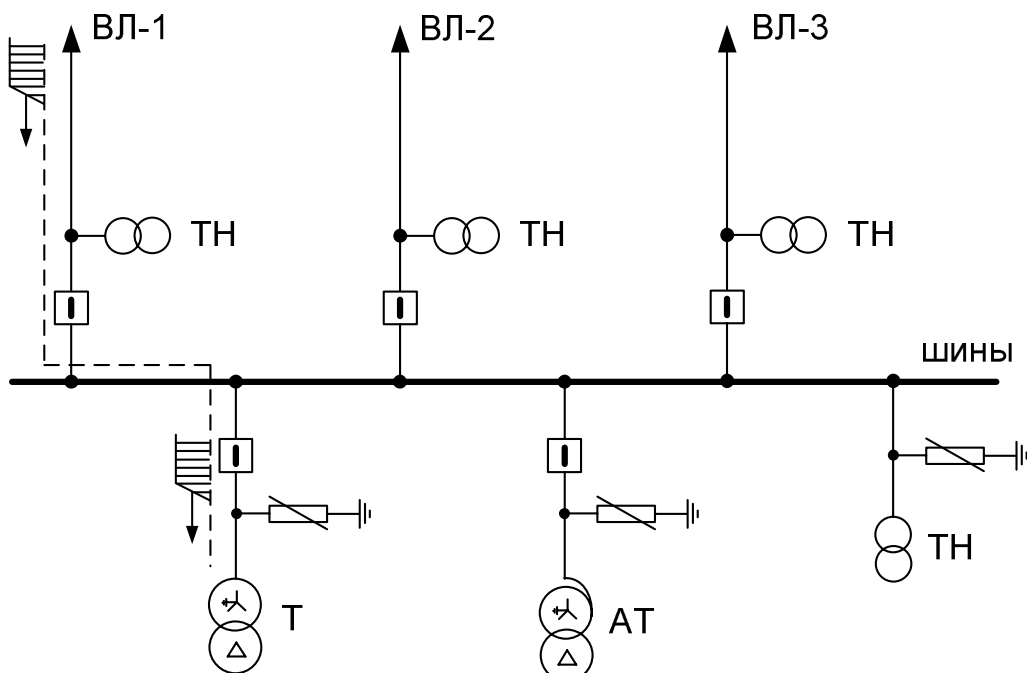


Рис.1.4. Типовая схема РУ с несколькими присоединенными линиями и (авто)трансформаторами.

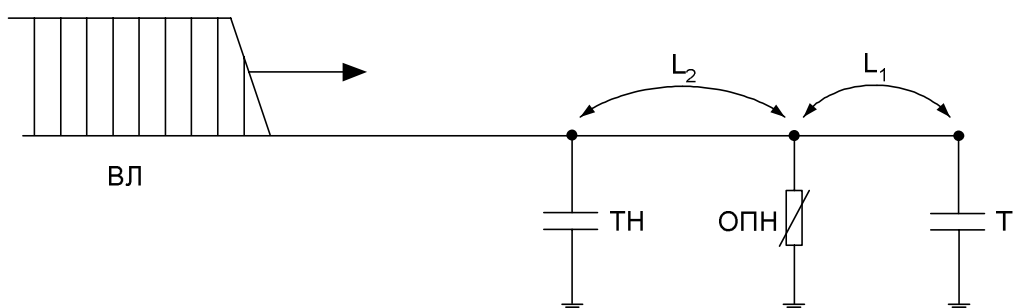


Рис.1.5. Типовая схема защиты оборудования РУ от грозовых перенапряжений.

Так как защитные аппараты устанавливаются в непосредственной близости от силового (авто)трансформатора, как наиболее дорогостоящего оборудования, то зачастую имеет место соотношение расстояний  $L_2 > L_1$ . Известно, что чем выше расстояние  $L$  от ЗА до защищаемого оборудования (примитивно говоря, чем выше индуктивность ошиновки между ЗА и оборудованием) и чем меньше

длительность фронта  $\tau_\phi$  набегающих грозовых волн, тем значительнее напряжение на оборудовании может превосходить напряжение на ЗА. Таким образом, наибольшим перенапряжениям подвергается не только оборудование, которое по ходу набегающей с ВЛ грозовой волны расположено до ЗА, но и наиболее удаленное от ЗА оборудование. В схеме рис.1.5 в качестве такого оборудования выступает ТН.

В мировой практике распространение нашла схема защиты оборудования РУ от грозовых перенапряжений, в которой на входе в РУ воздушных линий устанавливают дополнительные ЗА (рис.1.6), позволяющие существенно повысить защищенность оборудования от грозовых (и коммутационных) перенапряжений, так как в этом случае:

- все оборудование находится по ходу набегающей с ВЛ волны после защитных аппаратов, т.е. грозовые перенапряжения на оборудовании РУ определяются защитными характеристиками ЗА, обеспечивающими глубокое ограничение перенапряжений;
- снижены расстояния  $L$  от оборудования до защитных аппаратов.

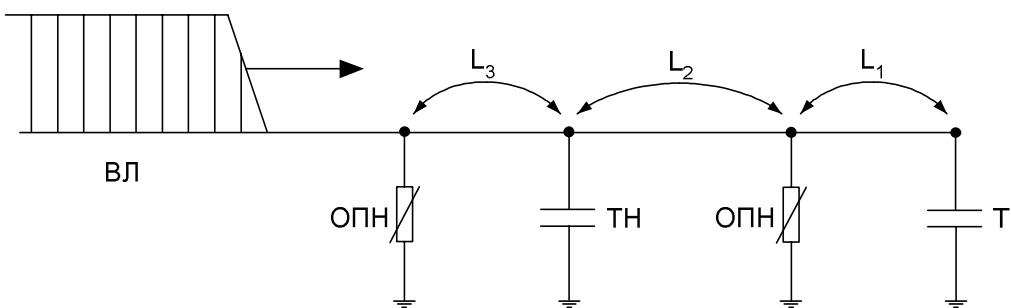


Рис.1.6. Каскадная схема защиты оборудования РУ от грозовых перенапряжений.

Схема, показанная на рис.1.6, известна достаточно давно и получила название каскадной, однако, к сожалению, в ПУЭ не рассматривается. Такое название учитывает то, что в схеме рис.1.6 силовые (авто)трансформаторы оказываются защищенными сразу несколькими ЗА, вступающими в работу последовательно (каскадно) по мере продвижения грозовой волны с линии к (авто)трансформаторам, установленным в «глубине» РУ. Каскадный принцип защиты оборудования реализуется в случае, если ЗА установлены у обмоток силовых (авто)трансформаторов, а также на каждой присоединенной ВЛ (см. рис.1.7), при этом установка ЗА на сборные шины не требуется. Высокоэффективной каскадной схема будет при выполнении условия  $L_3 + L_2 > L_1$ , так как только тогда возможно обеспечить очередное, а не «одновременное» срабатывание обоих показанных на рис.1.6 защитных аппаратов.

В схеме рис.1.6-1.7 защита трансформатора напряжения не является каскадной в том смысле, в котором об этом говорилось для силовых (авто)трансформаторов. Защищенность ТН в схеме рис.1.6-1.7 достигается тем, что он находится после защитного аппарата и тем, что он находится близко к защитному аппарату.

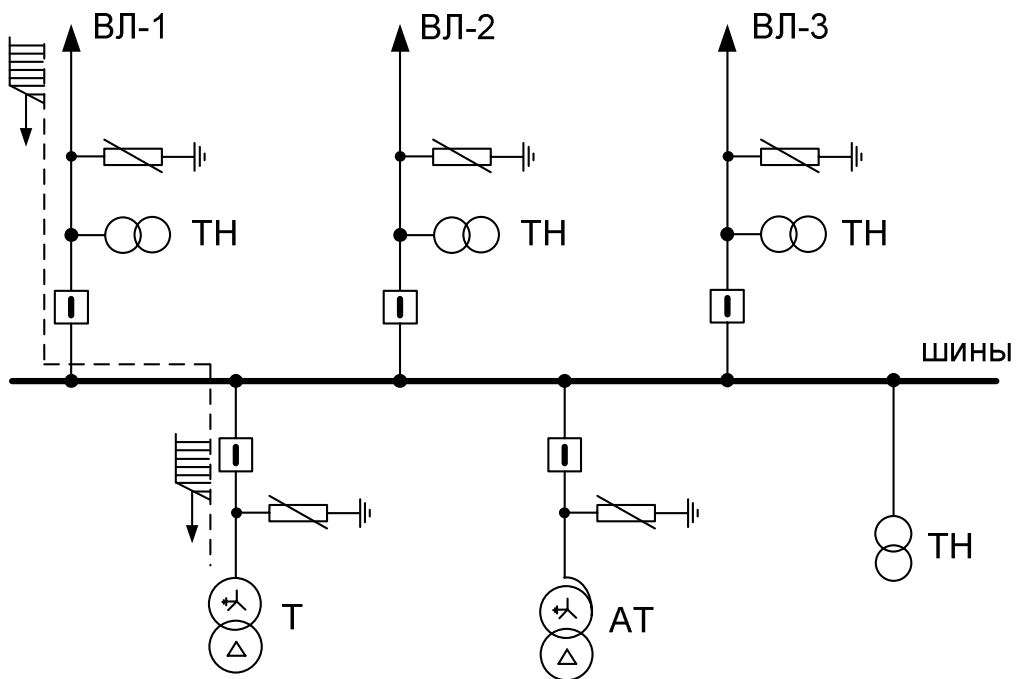


Рис.1.7. Оптимизированная схема РУ с несколькими присоединенными линиями и (авто)трансформаторами.

Согласно расчетам грозовых перенапряжений и опыту эксплуатации в каскадной схеме рис.1.6, отличающейся от рис.1.5 наличием на входе РУ дополнительных ЗА, вероятность повреждения изоляции оборудования РУ при грозовых перенапряжениях на порядок меньше, чем в типовой схеме рис.1.4. Учитывая высокие показатели защищенности оборудования при каскадной расстановке ЗА, теряется смысл традиционная задача определения максимально допустимых расстояний между оборудованием и ЗА, решение которой получено при разработке ПУЭ весьма упрощенно и изложено в ПУЭ в большом числе таблиц. Сама установка на «входные цепи» средств защиты от внешних воздействий является не новой и широко применяется даже в обычных бытовых приборах.

Если РУ уже спроектировано и построено, то установка дополнительных ЗА на входе линии в РУ бывает затруднена. В качестве одного из возможных вариантов размещения ЗА можно рассматривать их установку на ближайшей к РУ опоре ВЛ (рис.1.8).

Каскадный принцип защиты (авто)трансформаторов реализуется тем лучше, чем на большем расстоянии друг от друга в схеме рис.1.6 установлены ЗА. В частности, это означает, что если установить ОПН не у первой опоры (рис.1.8), а у второй, то защищенность (авто)трансформатора возрастет. Однако не следует забывать, что ЗА на входе РУ в том числе выполняет функции защиты от грозовых перенапряжений линейного ТН (и др. оборудования линии), и эта задача при установке ЗА на 2-й опоре будет решена плохо, поскольку:

- будет увеличено расстояние от линейного ЗА до линейного ТН (и др.);
- при ударе молнии в ВЛ между 1-й и 2-й опорами линейный ТН (и др.) уже не будет расположен после ЗА по ходу набегающей волны.

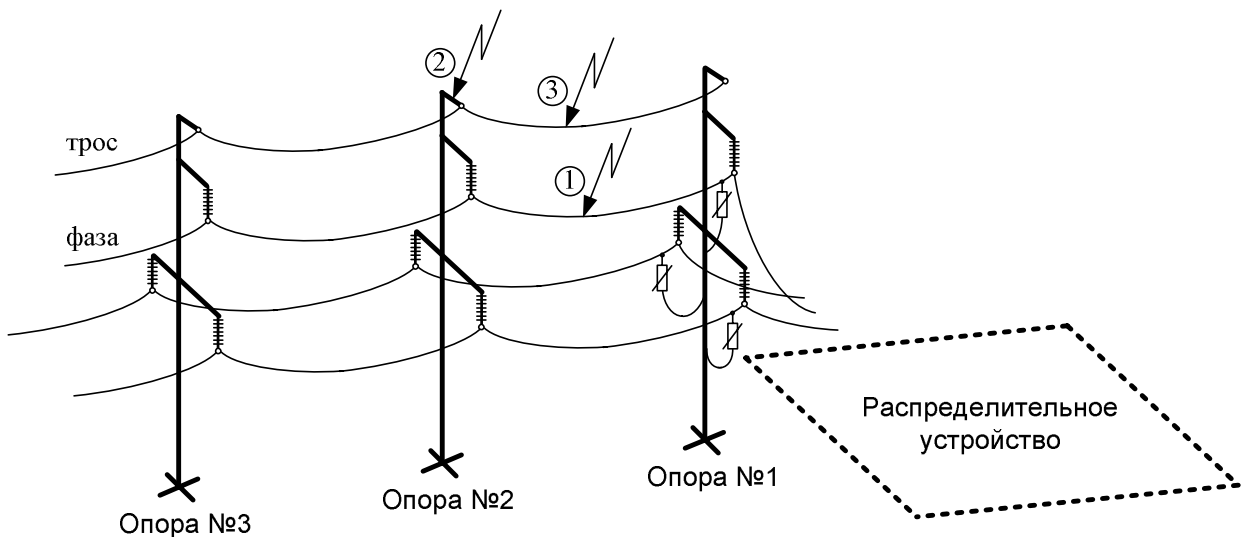


Рис.1.8. Установка ЗА на приемном портале («в линейную ячейку») как один из способов перехода к каскадной схеме защиты оборудования РУ от грозовых перенапряжений.

Еще одним аргументом в пользу важности ЗА на входе ВЛ является следующий. Предположим, что в каком-то режиме одна из ВЛ отсоединенна от РУ при помощи соответствующего выключателя (или линейного разъединителя), но при этом не заземлена (схема рис.1.9). Если на входе ВЛ в РУ не был установлен ЗА, то в случае возникновения грозовых перенапряжений совершенно незащищенным окажется присоединенное к линии оборудование РУ: трансформаторы напряжения и тока, разомкнутый выключатель. Может показаться, что совпадение грозовой активности с отключенным состоянием выключателя маловероятно. Однако это не так, поскольку ВЛ может быть отключена именно вследствие грозовой активности, и после отключения (например, в бестоковую паузу АПВ) подвергнуться повторному разряду молнии (разряду новой молнии или разряду последующих компонент первой молнии [1]).

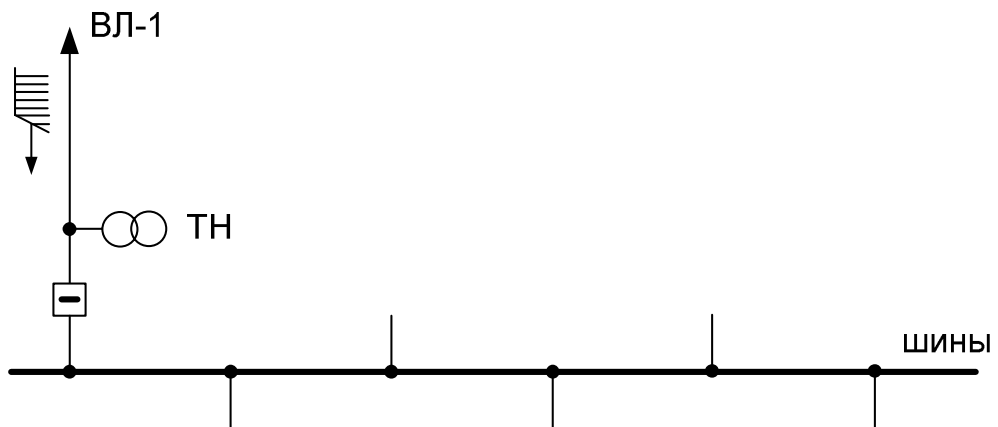


Рис.1.9. Отсутствие защиты оборудования ВЛ при отключенном выключателе.

### 1.3. Отказ от грозозащитных тросов

К сожалению, в эксплуатации требования ПУЭ не всегда удается реализовать в полной мере. В частности, подверженные коррозии и состаренные в процессе эксплуатации грозозащитные тросы в ряде случаев, не выдерживая ветровых и гололедных нагрузок, обрываются, создавая на линии короткие

замыкания. Из-за недостаточного финансирования некоторые эксплуатирующие организации вынуждены идти на отказ от установки троса на ВЛ и, в том числе, на подходах ВЛ к РУ. Кроме того, не всегда удается привести в соответствие с требованиями ПУЭ сопротивления заземления опор ВЛ, которые зачастую превосходят максимально допустимые по ПУЭ значения, что характерно, например, для районов со скальными и песчаными грунтами.

Во всех перечисленных случаях, когда не выполняются требования ПУЭ по обустройству защищенных подходов ВЛ к РУ, необходим альтернативный способ обеспечения защиты оборудования РУ от грозовых перенапряжений. В качестве такого способа можно рекомендовать использование каскадных схем, которые за счет своей эффективности позволяют сохранить защищенность оборудования на приемлемом уровне даже в случае существенного роста числа набегающих на РУ грозовых волн.

На рис.1.10 показан незащищенный подход ВЛ к РУ, где на входном портале установлен ЗА, который совместно с ЗА у силового (авто)трансформатора образует каскадную схему. Сравнительная эффективность схемы рис.1.10 (без троса) и типовой схемы рис.1.1 (с тросом) существенно зависит от класса номинального напряжения ВЛ и РУ.

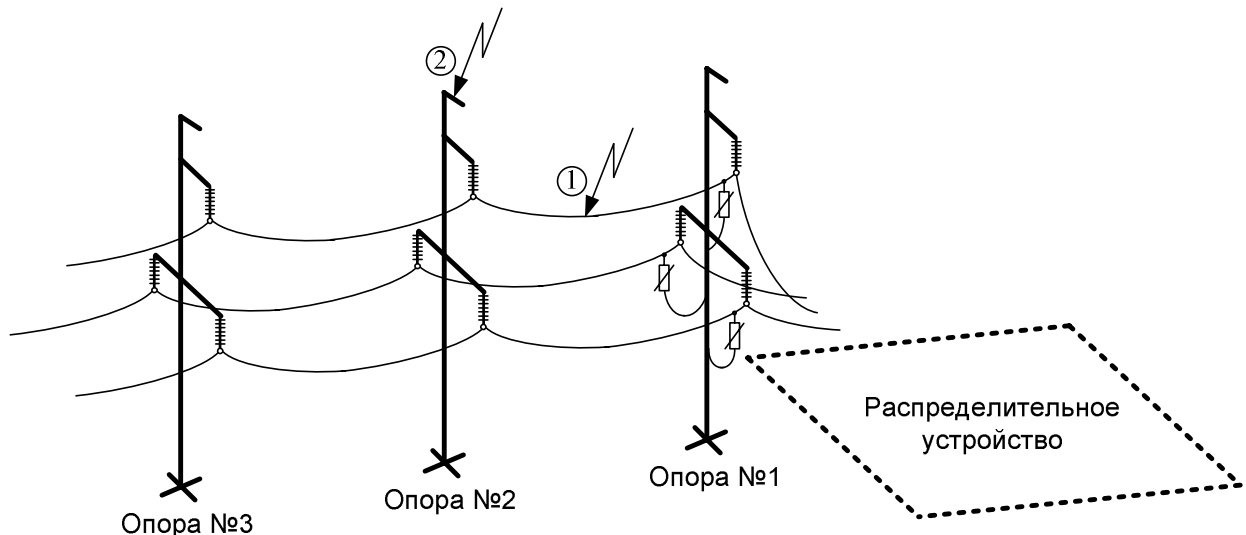


Рис.1.10. Установка ЗА на приемном портале как способ отказа от трося на подходе ВЛ.

Для классов 220-750 кВ основной причиной образования на ВЛ грозовых волн являются удары молний в фазные провода. В случае, если на ВЛ установлен один или два троса, вероятность прорыва молнии на фазные провода соответствует одному случаю из  $100 \div 1000$ . Поэтому для сетей этих классов напряжения отказ от трося приводит к росту числа ударов в фазные провода в  $100 \div 1000$  раз, тогда как каскадные схемы повышают защищенность лишь на порядок. Таким образом, увеличение числа грозовых волн и вызванное этим снижение защищенности оборудования РУ 220-750 кВ оказывается значительнее, чем повышение защищенности оборудования, достигаемое использованием каскадной схемы. Следовательно, для РУ 220-750 кВ каскадная схема не позволит отказаться от трося, а ее применение рекомендуется лишь как эффективное дополнение к обустройству защищенных подходов.

Для классов 35-110 кВ наиболее частыми причинами образования на ВЛ опасных грозовых волн являются обратные перекрытия при ударах молний в тросы и опоры. Обратных перекрытий сравнительно много, поскольку прочность изоляции ВЛ 35-110 кВ относительно невелика. Отказ на подходе ВЛ к РУ от тросовой защиты приведет к тому, что основной причиной образования на ВЛ опасных грозовых волн вместо обратных перекрытий при ударах в тросы и опоры станут удары молний в фазные провода, однако часть волн по-прежнему будет вызвана ударами в опоры. При этом общее число грозовых волн, набегающих на РУ с присоединенных ВЛ, возрастет гораздо меньше, чем это было для РУ 220-750 кВ. Таким образом, увеличение числа грозовых волн и вызванное этим снижение защищенности оборудования РУ 35-110 кВ оказывается сопоставимо с повышением защищенности оборудования, достигаемым использованием каскадной схемы. Поэтому для РУ 35-110 кВ каскадная схема позволит в ряде случаев отказаться от троса без ухудшения защищенности оборудования.

#### **1.4. Характеристики ОПН, устанавливаемых на входе РУ**

Для заданной конструкции (производителя) ОПН выбор наибольшего рабочего напряжения ОПН и его удельной энергии (тока пропускной способности) практически однозначно дает остальные параметры ОПН. Выбор ОПН сводится к определению его наибольшего рабочего напряжения  $U_{HPO}$  и удельной энергоемкости  $W_{yд}$  с последующей проверкой соответствия прочих характеристик (остающихся напряжений и др.) выбранного типа ОПН конкретным условиям эксплуатации.

Наибольшее рабочее напряжение ОПН, устанавливаемых на входе ВЛ 35-750 кВ в распределительное устройство, выбирается таким же, как и для ОПН в РУ. Исключение составляют ВЛ 500-750 кВ длиной более 200-300 км, при установке на которые  $U_{HPO}$  (а также  $W_{yд}$ ) определяется в результате специальных расчетов квазистационарных (а также коммутационных) перенапряжений.

Подробнее остановимся на характеристиках ОПН по допустимой энергии и току. Система молниепроводов исключает прямые удары молний в оборудование распределительных устройств, а значит и в размещенные там ОПН. При установке ОПН на опорах ВЛ становятся возможными прямые удары молний в ОПН, т.е. существует реальный риск выхода из строя этих защитных аппаратов. Особенно такой риск велик в случае установки ОПН на ВЛ, не оснащенных грозозащитным тросом, так как в этом случае многие удары молний в ВЛ приходятся в фазные провода, т.е. фактически непосредственно в ОПН.

Снижение риска повреждения ОПН 35-750 кВ в случае их применения на воздушных линиях 35-750 кВ достигается:

- совместным применением ОПН с грозозащитными тросами;
- выбором ОПН с повышенными энергоемкостью и допустимыми импульсными токами;
- увеличением числа опор ВЛ, на которых установлены ОПН, так как это приводит к снижению выделяющейся энергии в одном аппарате за счет

рассеивания энергии разряда молнии не в одном ОПН, а в большом количестве работающих параллельно аппаратов.

Конкретное значение энергоемкости ОПН для ВЛ 35-750 кВ зависит от многих факторов (например, от наличия грозотроса):

- если тросовая защита есть (рис.1.8), то энергоемкость ОПН, устанавливаемого на ВЛ 35-750 кВ, может быть принята такой же, как и для ОПН в распределительном устройстве; исключение составляют ВЛ 500-750 кВ длиной более 200-300 км, при установке на которые  $W_{уд}$  (а также  $U_{HPO}$ ) определяется в результате специальных расчетов;
- если тросовой защиты нет (рис.1.10), то энергоемкость ОПН, устанавливаемого на ВЛ 35-750 кВ, не рекомендуется принимать менее  $W_{уд} = 4$  кДж/кВ (по одному импульсу, приведена к напряжению  $U_{HPO}$ ).

Для обеспечения надежной работы ОПН, устанавливаемых при отказе от тросовой защиты на подходах к РУ, рекомендуется схема рис.1.11, сочетающая в себе схемы рис.1.8 и рис.1.10. Наиболее опасны для ОПН только удары молнии в непосредственной от него близости, т.е. в точку 1 на рис.1.11, однако наличие троса над ОПН существенно снижает вероятность такого удара. Удары молнии в трос и опоры (точки 2,3,5 на рис.1.11) не представляют опасности для ОПН, так как являются ударами в заземленные конструкции и, поэтому, не приводят к протеканию в ОПН больших по величине и длительности импульсных токов. Удары молнии в фазные провода на первом незащищенным тросом пролете (точка 4) вероятны (этот пролет не защищен тросом), однако не представляют особой опасности для ОПН, так как если молния была «мощной», то скорее всего перекроется изоляция ВЛ на опоре №2, и ОПН, установленный на опоре №1, будет шунтирован.

Расчеты для сетей 35-750 кВ свидетельствуют, что в схеме рис.1.11, несмотря на отсутствие троса (кроме ближайшего к РУ пролета ВЛ), достаточно применять ОПН той же энергоемкости, что и ОПН в распределительном устройстве (исключение – ВЛ 500-750 кВ длиной более 200-300 км).

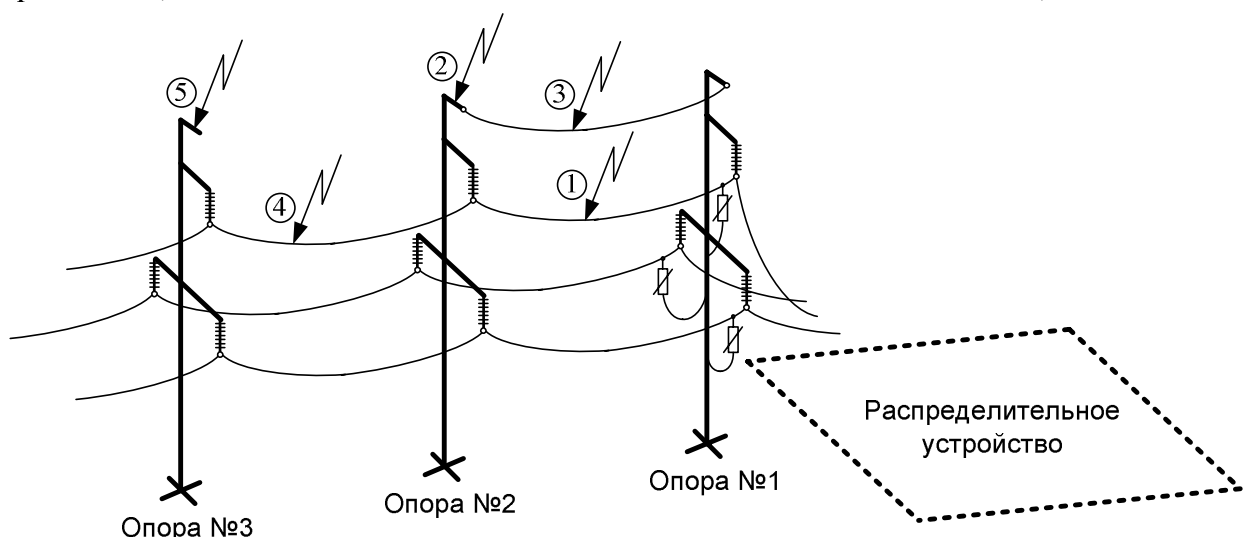


Рис.1.11. Обустройство защитного подхода ВЛ к РУ, обеспечивающее надежную эксплуатацию ОПН, установленного на ВЛ.

## 1.5. Совместная работа ОПН и вентильных разрядников

В некоторых распределительных устройствах можно встретить в работе одновременно и вентильные разрядники, и ОПН. Понимая различия в конструкции и характеристиках этих защитных аппаратов, возникают вопросы о допустимости подобной параллельной работы.

Совместная эксплуатация ОПН и РВ может возникнуть, например, из-за того, что одна из фаз разрядника вышла из строя, а резерва разрядников, снятых с производства, в энергосистеме уже нет – приходится вместо поврежденной фазы (или вместо трехфазного комплекта, в котором повредилась одна или несколько фаз) заказывать и устанавливать ОПН (см. рис.1.12).

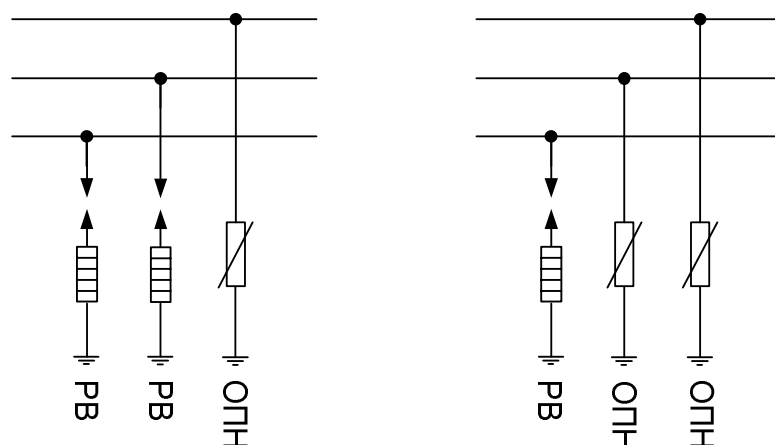


Рис.1.12. Совместная работа ОПН и РВ в рамках одного комплекта ЗА.

Если в одном трехфазном комплекте есть и РВ, и ОПН, то обоснованных причин, по которым такая работа была бы нежелательна, автору неизвестно. Обеспечение симметрии параметров сети по фазам является определенным аргументом в пользу того, чтобы в рамках трехфазного комплекта все три фазы ЗА были одного типа, однако:

- процессы при грозовых и коммутационных перенапряжениях (особенно в сетях с заземленной нейтралью 110 кВ и выше) практически не передаются с одной фазы на другую, т.е. происходят в фазах обособленно; ЗА соседних фаз не «помогают» и не «мешают» друг другу;
- токи проводимости ОПН и РВ под рабочим напряжением действительно различны, но дать сколь либо заметную несимметрию не смогут, поскольку эти токи заметно меньше по величине токов, протекающих по поверхности загрязненной и увлажненной внешней изоляции оборудования.

Несмотря на отсутствие опасности работы РВ и ОПН в одном трехфазном комплекте, такая работа на практике почти не встречается. Гораздо более распространенным является наличие в одном РУ параллельно работающих трехфазных комплектов ОПН и трехфазных комплектов РВ, т.е. на одноименной фазе эксплуатируются и ОПН, и РВ.

Возможность параллельной работы РВ и ОПН в рамках одноименной фазы надо рассматривать, помня, что указанные защитные аппараты предназначены для ограничения грозовых и коммутационных перенапряжений, но не предназначены для ограничения квазистационарных. При этом ОПН не имеют искрового промежутка, а вентильные разрядники имеют и настроены на срабатывание только от грозовых перенапряжений (за исключением сетей 330-750 кВ, где есть специальные комбинированные разрядники РВМК, предназначенные и для ограничения коммутационных перенапряжений тоже).

Зона защиты ОПН и РВ при грозовых перенапряжениях ограничена (десятки метров), что и порождает вопросы о взаимном влиянии двух указанных аппаратов. При коммутационных перенапряжениях, во-первых, большинство РВ не срабатывает вовсе, во-вторых, зона защиты ОПН значительна (сотни метров, километры), т.е. одного ОПН достаточно для защиты всего РУ, лишь бы между ОПН и защищаемым оборудованием не было разомкнутых коммутационных аппаратов. Поэтому с точки зрения ограничения коммутационных перенапряжений в РУ нет оснований требовать замены на ОПН одновременно всех РВ, а определяющими являются только грозовые перенапряжения.

Иногда нежелательность или недопустимость совместной работы ОПН или РВ объясняют токовыми и энергетическими нагрузками на ОПН, которые тем меньше, чем больше фаз разрядников заменено на ОПН.

Так, в сетях нередко предпринимаются попытки использовать большое число фаз ОПН для ограничения квазистационарных (дуговых, феррорезонансных и проч.). При этом полагается, что один ОПН с такими перенапряжениями не справится, а вот несколько ОПН уже способны. Подобные попытки являются методически ошибочными, так как энергия (и длительность существования) квазистационарных перенапряжений все равно значительно больше той, на которую рассчитаны даже несколько ОПН. Поэтому с точки зрения ограничения квазистационарных перенапряжений, а также токовых и энергетических воздействий при их воздействии, нет оснований требовать замены на ОПН одновременно всех РВ.

Каждый типовой современный ОПН, устанавливаемый в РУ, способен рассеять энергию грозовых и коммутационных перенапряжений самостоятельно в одиночку (за исключением сетей 500-750 кВ, где на ВЛ длиной более 200-300 км на входе в РУ рекомендуется устанавливать ОПН повышенной энергоемкости). Поэтому с точки зрения токовых и энергетических воздействий при грозовых и коммутационных перенапряжениях нет оснований требовать замены на ОПН одновременно всех РВ.

Итак, определяющим для выяснения возможности параллельной работы РВ и ОПН являются лишь вопросы стабильного срабатывания искрового промежутка разрядника при грозовых перенапряжениях, поскольку если искровой промежуток не срабатывает, то:

- оборудование может оказаться недостаточно защищенным;
- разрядник можно демонтировать (все равно он оборудование не защищает, зато сам может стать причиной аварийной ситуации).

На практике в сетях 6-10 кВ и 35-750 кВ распространение нашли разрядники типов РВО, РВС, РВМГ, РВМК, для искровых промежутков которых в табл.1.2 по данным ГОСТ 16357-83 указаны импульсные пробивные напряжения  $U_{III}$  (при предразрядном времени от 2 до 20 мкс). Кроме того, в табл.1.2 даны усредненные значения остающегося напряжения современных ОПН на грозовом импульсном токе формы 8/20 мкс с амплитудой 10 кА, полученные с использованием выражения

$$U_{8/20} = (U_{HPO} \cdot \sqrt{2}) \cdot K_{8/20},$$

где  $U_{HPO}$  – наибольшее рабочее напряжение ОПН,  $K_{8/20}$  – кратность ограничения грозовых перенапряжений в месте установки ОПН (типовое значение около 2.1).

Для ОПН 6-35 кВ значение  $U_{HPO}$  принималось равным наибольшему рабочему (линейному) напряжению сети, а для ОПН 110-750 кВ – равным фазному значению наибольшего рабочего напряжения сети (на практике его выбирают на 5-10 % выше).

Табл.1.2. Сравнительные характеристики вентильных разрядников и ОПН при ограничении грозовых перенапряжений в сетях 6-10 кВ и 35-750 кВ.

$U_{HOM}$ , кВ	$U_{HPO}$ , кВ	Остающееся напряжение $U_{8/20}$ для ОПН при токе 10 кА формы 8/20 мкс, кВ	Импульсное пробивное напряжение $U_{III}$ искровых промежутков РВ, кВ, не более			
			РВО	РВС	РВМГ	РВМК
6	7,2	21	32 (1,52)			
10	12,0	36	48 (1,33)			
35	40,5	120		125 (1,04)		
110	73	217		285 (1,31)	260 (1,20)	
220	146	434		530 (1,22)	515 (1,19)	
330	210	622			740 (1,19)	700 (1,13)
500	303	900			1070 (1,19)	1070 (1,19)
750	455	1350				1500 (1,11)

Обследование разрядников РВС 110-220 кВ и РВМГ 110-330 кВ, проведенное Кольским научным центром РАН, показало снижение в эксплуатации пробивного напряжения РВ, однако возможность совместной работы разрядников и ОПН проведем без учета этого факта. Из табл.1.2 видно, что пробивное напряжение искрового промежутка разрядника во всех сетях оказывается выше, чем остающееся напряжение на ОПН в режиме ограничения грозовых перенапряжений.

В скобках в табл.1.2 приводится отношение  $U_{ИП} / U_{8/20}$  импульсного пробивного напряжения РВ к остающемуся напряжению ОПН. Для всех классов напряжения  $U_{ИП}$  заметно превосходит  $U_{8/20}$ , что создает условия для нестабильного срабатывания разрядников при их совместной эксплуатации с ОПН на одноименной фазе распределительного устройства.

Помимо формального сравнения величин  $U_{ИП}$  и  $U_{8/20}$  на процессы при грозовых перенапряжениях существенное влияние оказывает:

- расстояние между разрядниками и ОПН;
- последовательность расположения разрядника и ОПН по ходу набегающей с линии грозовой волны.

Если расстояние между РВ и ОПН «велико», то даже при соотношении  $U_{ИП} / U_{8/20} > 1$  влияние ОПН на разрядник при грозовых перенапряжениях будет малозаметно. Наименьшее расстояние между ОПН и разрядником следует ожидать в распределительных устройствах 6-10 кВ, для которых к тому же согласно табл.1.2 имеет место самое неблагоприятное соотношение  $U_{ИП} / U_{8/20}$ , т.е. можно с уверенностью говорить о том, что вентильные разрядники в таких распределительных устройствах срабатывать не будут.

Влияние последовательности расположения ОПН и РВ по ходу грозовой волны рассмотрено на примере схемы рис.1.13, где показано типовое РУ (класса 35 кВ и выше), выполненное по схеме «мостик». Кроме того, нанесены основные пути, по которым грозовая волна, пришедшая по ВЛ-1, распространяется в РУ. Аналогично можно выполнить рассуждения и для волны по ВЛ-2. Взаимное расположение оборудования по ходу волны для случаев грозового воздействия по ВЛ-1 и ВЛ-2 приведены в табл.1.3.

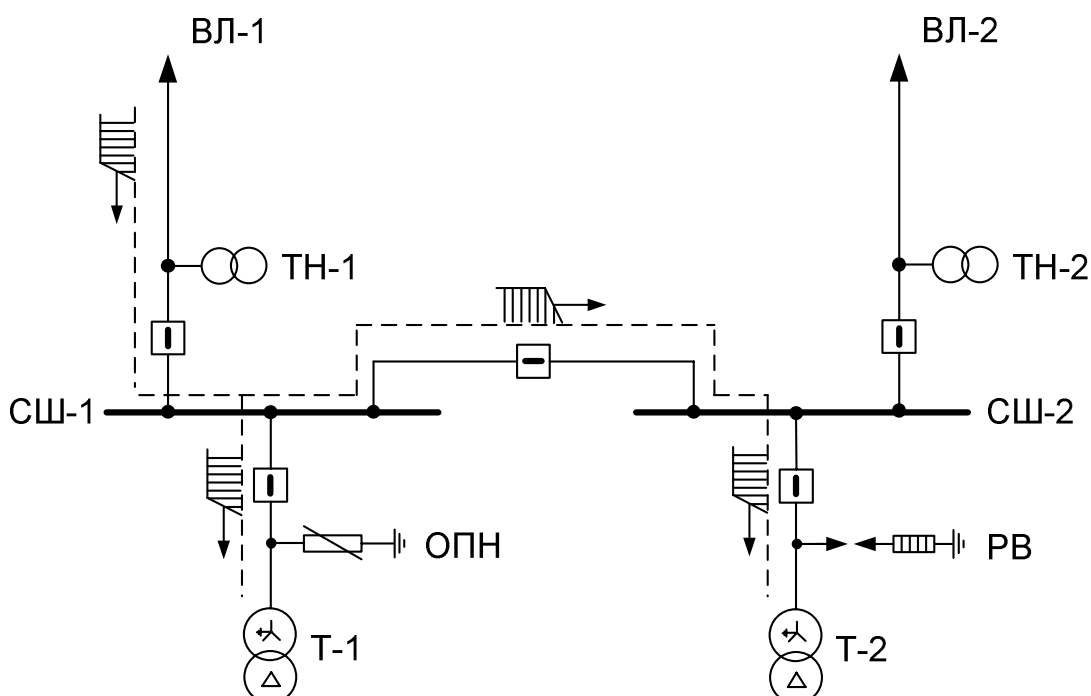


Рис.1.13. Схема РУ типа «мостик». Грозовая волна приходит по ВЛ-1.

Табл.1.3. Распространение грозовых волн в РУ, показанном на рис.1.13.

№	Взаимное расположение оборудования и ЗА по ходу набегающей волны			
	ВЛ-1	ВЛ-2	ОПН	ЗА
1				
2				
3				
4				

Более всего ОПН мешает срабатывать искровому промежутку разрядника в случае №2 по табл.1.3. Это происходит потому, что первым грозовую волну, пришедшую по ВЛ-1, встречает ОПН, установленный у Т-1. Следовательно, на разрядник, установленный у Т-2, будет воздействовать уже ограниченная волна перенапряжений, что затруднит срабатывание его искрового промежутка, т.е.

расстояние от Т-2 до ближайшего к нему работающего защитного аппарата (это ОПН у Т-1) окажется больше, чем  $L_1$ .

Можно возразить: если разрядник не сработал, то это означает, что нет особо опасных грозовых перенапряжений, способных повредить Т-2, и поэтому схема рис.1.13, имеющая на каждой фазе защитные аппараты различных типов, вполне допустима. Тем не менее, ясно, что защищенность оборудования от грозовых перенапряжений будет выше, если работают все защитные аппараты, а не только часть из них. Поэтому с точки зрения грозовых перенапряжений возможно, но нежелательно иметь ОПН и РВ на одноименной фазе РУ.

### 1.6. Эффективное подключение защитных аппаратов

При размещении в РУ защитных аппаратов важное внимание уделяется их защитным характеристикам – чем меньшие остающиеся напряжения на импульсных токах указаны в паспорте на ЗА, тем считается он лучше защищает от перенапряжений. Вместе с тем, есть не менее важная составляющая в обеспечении эффективной работы ЗА, о которой нередко забывают (см. рис.1.14).

На рис.1.14 напряжение на ошиновке  $U_{III}$  относительно земли определяется суммой падений напряжения на защитном аппарате  $U_{3A}$  и на соединительных проводах:

$$U_{III} = U_{3A} + L \frac{di}{dt},$$

где  $L = L^* \cdot l$  – суммарная индуктивность цепи от ошиновки до верхнего фланца ЗА и от нижнего фланца ЗА до контура заземления;  $L^*$  – погонная индуктивность (около 1 мкГн/м),  $l$  – суммарная длина (в метрах);  $\frac{di}{dt}$  – скорость (кА/мкс) изменения импульсного тока в ЗА.

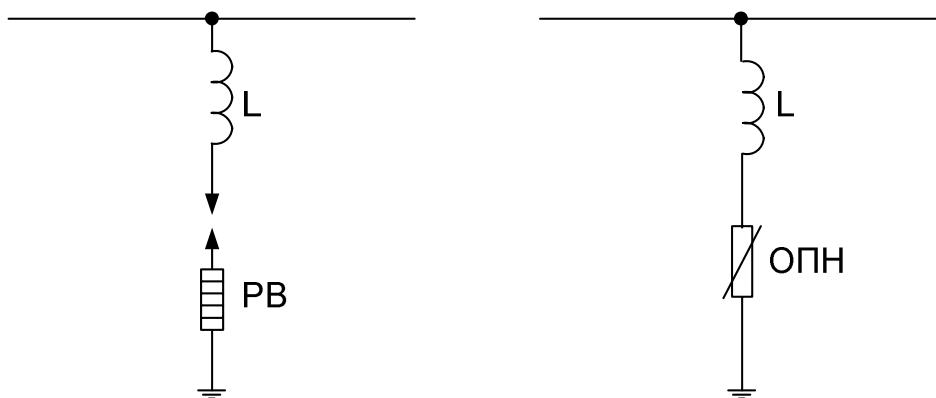


Рис.1.14. Подключение защитных аппаратов для защиты изоляции «фаза-земля».

Защитные аппараты имеют собственную продольную индуктивность, но она естественным образом учитывается в процессе импульсных испытаний ЗА при определении величины  $U_{3A}$  и, поэтому, в  $L$  не включена. Индуктивность контура заземления, к которому присоединен ЗА, учитывать не будем, полагая наличие большого числа металлических связей, т.е. наличие регулярной заземляющей сетки с малым размером ячейки.

При близких к ЗА ударах молнии в ошиновку или фазные провода скорость изменения импульсного тока в ЗА определяется таковой для молнии и согласно [1] может превосходить 50 кА/мкс. Даже при скорости 10 кА/мкс и суммарной длине  $l$  всего 10 метров имеем падение напряжения на индуктивности 100 кВ. Эта величина существенна по сравнению с остающимся напряжением для ЗА классов 6-110 кВ (см. табл.1.2) и, следовательно, в этих сетях следует предъявлять повышенное внимание к правильности подключения ЗА, качеству заземления.

Пример неудачного присоединения ЗА дан на рис.1.15, где проектировщик разместил ОПН на портале над трансформатором. Несмотря на кажущуюся близость ОПН к трансформатору, в такой схеме эффективность работы ОПН снижена из-за значительной индуктивности контура, показанного на рис.1.15 прерывистой линией.

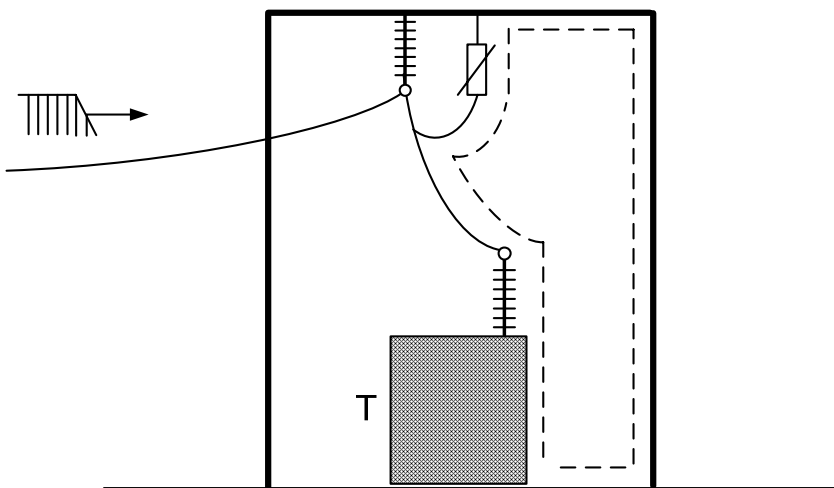


Рис.1.15. Пример неудачного расположения ОПН для защиты трансформатора.

Принимая во внимание изложенное, можно дать общие рекомендации:

- размещение ОПН на порталах или опорах возможно лишь там, где такие ОПН выполняют функции «грубой» грозозащиты, т.е. на входах в РУ воздушных линий; размещение ОПН на порталах для защиты трансформаторов нежелательно;
- индуктивность соединительных проводов (спусков) защитных аппаратов должна обязательно учитываться в расчетах грозовых перенапряжений, а также при проверке удовлетворения требованиям ПУЭ конкретных расстояний в РУ между оборудованием и защитным аппаратами.

## 1.7. Защита нетиповых РУ

Рассмотренные выше рекомендации по защите типовых РУ называют эффективной установкой защитных аппаратов на входе каждой присоединенной ВЛ, а также у каждого силового (авто)трансформатора.

Нетиповыми будем называть распределительные устройства:

- с присоединенными кабельными линиями;
- с трансформаторами и воздушными линиями, присоединенными к шинам кабельными вставками;

- с элегазовой изоляцией (КРУЭ).

Нетиповые РУ встречаются в энергосистеме сравнительно редко и при этом характеризуются большим разнообразием схемных решений. Поэтому, не имея конкретной схемы, остановится можно лишь на основных моментах защиты от грозовых перенапряжений.

Если речь идет о защите РУ, к которому присоединены только кабельные линии (и нет воздушных), то говорить о защите оборудования от грозовых перенапряжений не приходится, и этот вид перенапряжений не является определяющим при выборе мест установки защитных аппаратов.

Если речь идет о защите РУ, к которому присоединены кабельные вставки, то в дополнение к рекомендациям по защите типовых РУ следует, как правило, предусмотреть:

- установку ОПН на каждой ВЛ, которая заведена в РУ при помощи кабельной вставки (вблизи от кабельной муфты, т.е. перехода ВЛ в кабель);
- установку на сборные шины одного общего для нескольких (авто)трансформаторов комплекта ОПН, если (авто)трансформаторы присоединены к шинам с помощью кабельных вставок, исключающих применение ОПН непосредственно у их обмоток.

При защите КРУЭ следует принимать во внимание несколько важных моментов:

- стоимость КРУЭ значительно выше типовых РУ открытого типа;
- ремонтные работы в КРУЭ требуют большого времени, так как связаны с отправкой поврежденного оборудования на завод-изготовитель;
- защита может осуществляться типовыми ОПН или ОПН с элегазовой изоляцией (ОПНЭ), которые на порядок дороже;
- КРУЭ выполняется максимально компактным, т.е. применение большого числа ОПН для защиты от грозовых перенапряжений в определенной мере «бессмысленно».

Хороших показателей защищенности КРУЭ от грозовых перенапряжений удается достичь, если типовые ОПН установлены на входе в КРУЭ каждой присоединенной ВЛ и у каждого присоединенного к КРУЭ силового (авто)трансформатора.

Применение дорогостоящих ОПНЭ, как правило, требуется только тогда, когда (авто)трансформаторы присоединены к КРУЭ не открытой ошиновкой, а кабелем или элегазовым токопроводом, что исключает возможность защиты (авто)трансформаторов при помощи обычных ОПН. В подобных случаях ОПНЭ устанавливаются вблизи от вводов (муфт) «элегаз-кабель» или «элегаз-масло».

## **1.8. Особенности защиты оборудования 6-10 кВ**

Особенности защиты оборудования 6-10 кВ от грозовых перенапряжений вызваны следующими важными обстоятельствами:

- конструкция типовых ВЛ 6-10 кВ, применяемых в России, не предусматривает установку грозозащитного троса;

- опасные грозовые перенапряжения возникают не только при ударах молнии непосредственно в ВЛ 6-10 кВ, но и индуцируются при близких к трассе ВЛ ударах молнии;
- число разрядов молнии в ВЛ 6-10 кВ существенно зависит от характера трассы ВЛ (поле или лес; город или сельская местность) и, следовательно, не может быть корректно рассчитано;
- прочность изоляции ВЛ 6-10 кВ заметно ниже тех грозовых перенапряжений, которые могут создавать на ней прямые и близкие разряды молнии; поэтому требования к сопротивлению заземления опор в сетях 6-10 кВ не определяются необходимостью снижения числа обратных перекрытий с тела опоры на фазные провода, а уменьшение сопротивления заземления опор присоединенных ВЛ не оказывается на грозоупорности РУ 6-10 кВ;
- на эффективность работы защитных аппаратов (ОПН и разрядников) существенное влияние оказывает индуктивность соединительных проводов и контура заземления;
- грозовые волны переходят через силовые (авто)трансформаторы; грозовая волна, перейдя из РУ 35-750 кВ с присоединенными воздушными линиями на сторону 6-10 кВ, способна создавать недопустимые для изоляции 6-10 кВ грозовые перенапряжения.

Изложенное показывает, что проведение расчетов и оценок грозоупорности в сетях 6-10 кВ затруднено, так как сталкивается с необходимостью учета значительного числа влияющих факторов. Так же изложенное показывает, что РУ 6-10 кВ требует отнюдь не меньшего внимания к защите от грозовых перенапряжений, нежели в сетях 35-750 кВ. Общие рекомендации при защите оборудования класса 6-10 кВ от грозовых перенапряжений таковы:

- защитные аппараты должны быть установлены максимально близко к каждой обмотке 6-10 кВ силовых (авто)трансформаторов;
- при установке защитных аппаратов у обмоток 6-10 кВ силовых (авто)трансформаторов (35-750)/(6-10) кВ не допускается наличие коммутационного аппарата между этими ЗА и обмоткой;
- защитные аппараты должны быть установлены на входе в распределительное устройство каждой ВЛ 6-10 кВ.

Выполнение отмеченных рекомендаций по местам установки защитных аппаратов целесообразно вне зависимости от габаритов РУ 6-10 кВ и числа присоединений.

## **2. РАСЧЕТНАЯ МОДЕЛЬ ДЛЯ АНАЛИЗА ГРОЗОВЫХ ПЕРЕНАПРЯЖЕНИЙ**

Проведенные в 1-й главе рассуждения позволяют сделать следующие основные выводы, требующие, в силу своей значимости, более детального обоснования:

- каскадные схемы рекомендуются для всех РУ 35-750 кВ и 6-10 кВ как высокоэффективный способ защиты оборудования от грозовых (и коммутационных) перенапряжений;
- для некоторых РУ 35-750 кВ каскадные схемы позволяют снизить длину тросового подхода ВЛ к РУ или вовсе отказаться от троса без заметного ухудшения защищенности оборудования.

Использование подробного компьютерного моделирования переходных процессов позволит оценить эффективность каскадных защитных схем по сравнению с типовыми, проверить обоснованность требований ПУЭ к расстановке защитных аппаратов в РУ и обустройству защищенных подходов ВЛ.

Для расчетов грозовых перенапряжений на оборудовании РУ использован известный канадско-американский программный комплекс EMTP (Electromagnetic Transients Program [5-7]), дополненный рядом уникальных специализированных модулей, позволяющих учесть вольт-секундную характеристику изоляции, импульсную корону на проводах ВЛ, статистические данные по параметрам импульса тока молнии.

Расширенный дополнительными модулями программный комплекс EMTP позволяет проводить расчеты грозовых перенапряжений на оборудовании при подробном моделировании процессов в РУ совместно с процессами в присоединенных ВЛ, т.е. разработанная на базе EMTP компьютерная модель для анализа грозовых перенапряжений состоит из модели распределительного устройства и моделей присоединенных воздушных линий электропередачи.

### **2.1. Модель распределительного устройства**

Переход от реальной схемы РУ к расчётной эквивалентной схеме осуществлен с учётом определённых правил и допущений:

- Считываются пренебрежимо малыми потери в проводах и земле, а также пренебрегается влиянием соседних фаз (РУ смоделировано в однофазной постановке) и эффектом короны на проводах ошиновки РУ (корона на линии учтена). Возможности программного комплекса EMTP позволяют моделировать РУ в трехфазной постановке, однако ряд контрольных расчетов, а также данные [2] свидетельствуют об отсутствии такой необходимости для решения практических задач.
- Учитывая то, что расчет грозовых перенапряжений в РУ при отказе от учета волнового характера процессов может привести к существенным погрешностям [8], участки ошиновки, соединяющие оборудование, приняты однопроводными линиями без потерь заданной длины и моделируются волновыми параметрами [1,8] (волновым сопротивлением  $Z$  и скоростью распространения электромагнитной волны, которая принимаемся равной  $v = 300$  м/мкс). Волновое сопротивление  $Z$

ошиновки задается по данным [1] в зависимости от класса номинального напряжения РУ.

- Трансформаторы и другие высоковольтные аппараты заменяются их входными емкостями, усредненные величины которых указаны в [1,9].
- Нелинейный ограничитель перенапряжений моделируется нелинейным сопротивлением [10], вольтамперная характеристика которого задается выражением  $U = AI^\alpha$ . Показатель степени  $\alpha$  для анализа грозовых перенапряжений принимается  $\alpha = 0.08$ , а коэффициент  $A$  определяется по одной известной точке вольтамперной характеристики моделируемого ОПН, в качестве которой, как правило, используется остающееся напряжение на импульсе тока 8/20 мкс с максимальным значением 10 кА.
- Импульсное сопротивление заземления ОПН принимается равным нулю. Соединительный шлейф между ОПН и ошиновкой РУ моделируется сосредоточенной индуктивностью, величина которой определяется длиной шлейфа и его погонной индуктивностью (принята равной 1 мкГн/м).
- Согласно [11] считается, что для изоляции оборудования в эксплуатации допустимо воздействие грозового перенапряжения с амплитудой не более

$$U_{don} = 1.1(U_{ucn} - 0.5U_{nom}), \quad (2.1)$$

где  $U_{ucn}$  – испытательное напряжение полного грозового импульса нового оборудования по [12],  $U_{nom}$  – номинальное напряжение оборудования. Допустимые кратности грозовых перенапряжений считаются одинаковыми вне зависимости от формы импульса грозового перенапряжения на изоляции оборудования.

## 2.2. Модель присоединенных к РУ воздушных линий

В каждом расчетном случае удара молнии в ту или иную ВЛ все присоединенные к РУ воздушные линии условно разделяются на две группы:

- воздушная линия, с которой на РУ набегает грозовая волна, вызванная разрядом молнии в опору, трос или фазный провод этой линии (рис.1.1);
- остальные воздушные линии.

Подход к РУ воздушной линии, относящейся к первой группе, моделируется подробно в трехфазной постановке в соответствии со своими конструктивными особенностями (тип опоры, длина пролета и проч. – см. ниже). Воздушные линии, относящиеся ко второй группе, моделируются упрощенно, т.е. активными сопротивлениями, равными волновому сопротивлению фазного провода [2].

**Опора ВЛ.** На подходах к РУ все опоры подробно моделируемой ВЛ могут быть приняты:

- одинаковыми, соответствующими типовой конструкции промежуточной опоры, наиболее широко применяемой для ВЛ рассматриваемого класса номинального напряжения;

- различными, характерными для конкретной ВЛ на подходе к РУ.

В любом из двух указанных случаев модель каждой опоры, установленной на походе ВЛ к РУ, представляет собой набор индуктивностей [1], величины которых определены с использованием известной геометрии опоры (см. [13]) и погонных индуктивностей опор (около  $0.5 \div 1.0$  мкГн/м по [1]); каждая опора (см. рис.3.6) заземлена через активное сопротивление, моделирующее заземляющее устройство. Величина сопротивления заземления опор каждый раз оговаривается отдельно.

В нормативных документах [3] и протоколах измерений, как правило, указаны сопротивления опор растеканию тока, полученные методом «вольтметр-амперметр», однако для расчета грозовых перенапряжений требуется величина импульсного сопротивления опор. С некоторой погрешностью импульсное сопротивление заземления опоры можно принять равным сопротивлению растекания. Такое допущение возможно, поскольку с одной стороны в импульсном режиме из-за пробоя грунтов при больших импульсных токах через опору коэффициент импульса становится меньше единицы, с другой – в таком режиме оказывается индуктивность лучей заземлителя, что увеличивает коэффициент импульса. В итоге упомянутые факторы в определенной степени взаимно компенсируются.

**Фазные провода и тросы.** Воздушная линия представлена совокупностью расположенных между опорами участков ВЛ (пролетов). Каждый участок (пролет) ВЛ моделируется многопроводной линией, состоящей из фазных проводов и тросов, взаимное расположение которых задается в зависимости от выбранного типа опоры с учетом длины гирлянды изоляторов. Длина пролетов может быть принята:

- усредненной (например, по данным [13]), равной для ВЛ 35, 110, 220, 330, 500, 750 кВ, соответственно, 250, 300, 350, 400, 450, 500 м;
- реальной, имеющей место для ВЛ, присоединенных к конкретному рассматриваемому РУ.

**Изоляция ВЛ.** Перекрытие изоляции ВЛ 35-750 кВ наиболее вероятно на опоре, вдоль гирлянды изоляторов, т.е. там, где электрическая прочность промежутка «провод-земля» («провод-траверса») минимальна. Возможность перекрытия линейной изоляции при различных воздействующих перенапряжениях определяется ее прочностью, которая задается вольт-секундной характеристикой (ВСХ) [1,14]. При воздействиях, по форме близких к стандартному грозовому импульсу 1.2/50 мкс, согласно [14] вольт-секундная характеристика (в кВ) описывается выражением

$$u(t) = K_1 + \frac{K_2}{t^{0.75}}, \quad (2.2)$$

где  $t$  – предразрядное время (в мкс), а коэффициенты  $K_1$  и  $K_2$  находятся по длине гирлянды изоляторов  $L$  (выраженной в метрах) как  $K_1 = 400 \cdot L$ ,  $K_2 = 710 \cdot L$ . Длина гирлянды изоляторов может быть принята:

- усредненной (например, по данным [13]), равной для ВЛ 35, 110, 220, 330, 500, 750 кВ, соответственно,  $L = 0.7$  м,  $L = 1.25$  м,  $L = 2.3$  м,  $L = 3.0$  м,

$L = 4.0$  м,  $L = 6.0$  м; полученные при таких длинах вольт-секундные характеристики гирлянд изоляторов ВЛ 35-750 кВ близки к рекомендациям [1];

- реальной, имеющей место для ВЛ, присоединенных к конкретному рассматриваемому РУ.

**Импульсная корона на проводах ВЛ.** По данным [2,11,15] динамическая емкость одиночного коронирующего провода описывается эмпирической формулой:

$$C_d = C_0 \left[ 1 + \frac{5}{3} A (u^* - 1)^{2/3} \right],$$

где  $u^* = u / U_{\text{нач}}$  – мгновенное значение напряжение на проводе в относительных единицах,  $U_{\text{нач}}$  – начальное напряжение общей короны,  $A$  – эмпирический коэффициент, зависящий от полярности напряжения на проводе ( $A^{(+)} = 0.78$ ,  $A^{(-)} = 0.375$ ).

Емкость  $C_0$  – собственная емкость некоронирующего провода, которая может быть определена через потенциальный коэффициент

$$\alpha = \frac{1}{2\pi\epsilon_0} \ln \left[ \frac{2h}{R_{\text{экв}}} \right],$$

$$C_0 = \frac{1}{\alpha},$$

где  $R_{\text{экв}} = (n \cdot r_0 \cdot R^{n-1})^{1/n}$  – эквивалентный радиус расщепленного провода [1],  $r_0$  – радиус одного провода,  $n$  – число проводов в расщепленном,  $R = \frac{D}{2} / \sin\left(\frac{\pi}{n}\right)$  – радиус расщепления провода,  $D$  – шаг расщепления.

Начальное напряжение общей короны определено выражением [2,11,15]

$$U_{\text{нач}} = 2\pi\epsilon_0 m_0 E_{\text{нач}} \cdot \frac{r_0 n}{k_m C},$$

где  $m_0 = 0.82$  – коэффициент негладкости провода (для витого провода);  $r_0$  – радиус провода;  $n$  – число проводов в фазе;  $C$  – средняя емкость фазы;  $E_{\text{нач}} = 29 \div 33 \approx 31$  кВ/см – начальная напряженность электрического поля, соответствующая появлению короны;  $k_m = 1 + (n-1) \cdot r_0 / R$  – обозначение сомножителя формулы, обусловленного расчетом электростатического поля расщепленного провода.

Типовые значения числа проводов в расщепленной фазе  $n$  и радиуса  $r_0$  составляющих приняты по [16], а результаты расчетов, выполненных при  $h = 15$  м,  $D = 0.4$  м, приведены в табл.2.1.

В программном комплексе EMTP импульсная корона на проводах ВЛ учтена при помощи дополнительных сосредоточенных емкостей (в дополнение к собственной распределенной емкости  $C_0$  фазного провода), включаемых между фазными проводами и землей

$$C_d^{\text{EMTP}} = C_d - C_0 = C_0 \left[ \frac{5}{3} A (u^* - 1)^{2/3} \right] = C_0 [1.667 A (u^* - 1)^{0.667}] \quad (2.3)$$

Табл.2.1. Исходные данные для расчета ёмкости коронирующего провода ВЛ.

$U_{ном}$ , кВ	$n$	$r_0$ , см	$R_{экв}$ , см	$C_0$ , пФ/м	$U_{нач}$ , кВ
35	1	0.76	0.76	6.7	160
110	1	0.86	0.86	6.8	178
220	1	1.26	1.26	7.2	249
330	2	1.38	7.43	9.3	394
500	3	1.38	13.02	10.2	511
750	4	1.46	19.07	11.0	650

Так как подавляющее число разрядов молний отрицательные [1,17] (несут отрицательный заряд), то достаточно моделировать импульсную корону только при отрицательной полярности напряжения на фазном проводе. В расчетной модели ЕМТР сосредоточенные ёмкости, моделирующие импульсную корону при отрицательной полярности напряжения на фазном проводе, присоединены к фазным проводам ВЛ на расстоянии  $l$  друг от друга; в качестве входных параметров необходимо задавать класс напряжения линии  $U_{ном}$  (кВ), длину участка линии  $l$  (м), для которой вычисляется ёмкость  $C_0l$ . Далее, используя класс напряжения линии  $U_{ном}$  и данные табл.2.1, программа ЕМТР определяет значения  $C_0$  и  $U_{нач}$ .

На каждом шаге расчета в ЕМТР в каждом  $j$ -м блоке, моделирующем корону, с использованием ёмкости  $C_0l$  и мгновенного значения напряжения  $u_j^* = u_j / U_{нач}$ , измеренного на проводе в месте размещения  $j$ -го блока, осуществляется корректировка учитывающей корону ёмкости  $(C_d^{EMTP})_j$  в соответствии с выражением (2.3).

В программном комплексе ЕМТР учтено влияние импульсной короны только на фронт распространяющихся от места удара молнии в ВЛ грозовых волн напряжения отрицательной полярности, а искажения «хвостовой» части импульса не учтены из-за их слабого влияния на грозовые перенапряжения. Это достигнуто за счет подключения к фазным проводам моделирующих корону динамических ёмкостей  $(C_d^{EMTP})_j$  через диоды, которые позволяют протекать импульсным токам с отрицательно заряженного фазного провода в незаряженные подключенные ёмкости, но исключают обратное направление протекания тока (см. рис.3.6).

### 2.3. Моделирование импульса тока молнии

При решении задач грозозащиты для моделирования тока молнии часто используется двухэкспоненциальный импульс [1,18,19]

$$i(t) = \gamma \cdot I_{\max} \cdot [\exp(-at) - \exp(-bt)],$$

где  $a$  и  $b$  определяются скоростями нарастания и спада тока молнии,  $\gamma$  – корректирующий фактор амплитуды тока молнии.

Натурные осциллограммы токов молний [1] свидетельствуют о наличии нулевой начальной производной, в то время как двухэкспоненциальный импульс имеет производную, отличную от нуля в начальный момент времени. Поэтому в

различных публикациях предложено большое количество обеспечивающих нулевую начальную производную функций, моделирующих форму тока молнии. Например, часто встречающееся выражение, обеспечивающее нулевую производную [18,19]

$$i(t) = \frac{I_{\max}}{\eta} x(t) \cdot y(t) = I_{\max} \cdot z(t) \cdot y(t), \quad (2.4)$$

где  $x(t) = \frac{(t/t_1)^n}{1 + (t/t_1)^n}$ ,  $y(t) = \exp\left(-\frac{t}{t_2}\right)$ ,  $n$  – параметр, определяющий крутизну волны.

Сопротивление канала молнии составляет по различным оценкам величину  $300 \div 1500$  Ом [1,17].

#### **2.4. Статистический метод, используемый для анализа грозовых перенапряжений на оборудовании РУ**

Удар молнии в фазный провод ВЛ приводит к возникновению грозовой волны, которая, распространяясь в обе стороны от места удара молнии в линию, набегает на РУ. Наибольшую опасность для оборудования РУ представляют набегающие грозовые волны напряжения с большой крутизной фронта и большой амплитудой. Согласно [1,2] амплитуда набегающих волн ограничена импульсной прочностью изоляции ВЛ, а крутизна фронта – действием импульсной короны на проводах. Учитывая действие импульсной короны, удаленные на несколько километров от входа РУ удары молнии в присоединенные ВЛ уже не способны вызвать на изоляции оборудования опасные грозовые перенапряжения и, поэтому, наибольшую опасность для оборудования РУ представляют грозовые волны, вызванные близкими к РУ ударами молнии, т.е. ударами в зоне «опасного» подхода.

Для снижения числа ударов молнии в фазные провода на подходах к РУ на присоединенных линиях устанавливаются грозозащитные тросы [1,3]. Удары молнии в тросовую защиту в ряде случаев могут приводить к обратным перекрытиям с тела опоры на фазные провода. В таких случаях на фазных проводах образуются волны высокой крутизны фронта, которые могут вызывать на изоляции оборудования РУ опасные грозовые перенапряжения.

Разработанная в ЕМТР модель для расчета грозовых перенапряжений на оборудовании РУ учитывает статистическую природу параметров импульса тока молнии и удаленности от РУ места удара молнии в ВЛ (в фазный провод, в трос, в опору):

1. Выбирается  $i$ -я линия из  $N_{\text{ВЛ}}$  присоединенных к РУ воздушных линий.
2. Задается расчетный случай (удар молнии в трос, в опору, в фазный провод).
3. Задается расстояние  $x$  от места удара молнии в линию до входа РУ.
4. Для выбранного случая в подробной ЕМТР-модели РУ многократно повторяется расчет грозовых перенапряжений на оборудовании. В каждом из расчетов параметры импульса тока молнии (форма импульса описывается выражением (2.4)) принимаются с учетом выбранного закона распределения параметров тока молнии.

5. Фиксируется число грозовых перенапряжений на конкретном оборудовании РУ (например, на силовом трансформаторе) с максимальным значением, превышающим допустимое значение  $U_{\text{don}}$  амплитуды грозовых перенапряжений для этого оборудования. Полученное число опасных перенапряжений соотносится с общим числом выполненных экспериментов, что дает вероятность появления опасных грозовых перенапряжений на конкретном оборудовании РУ при ударах молнии в  $i$ -ую присоединенную линию:  $P_{np}^i(x)$  (при ударах в фазный провод),  $P_{onopa}^i(x)$  (при ударах в опору),  $P_{mpoc}^i(x)$  (при ударах в трос).
  6. На основе полученных для  $i$ -ой присоединенной линии зависимостей  $P_{np}^i(x)$ ,  $P_{onopa}^i(x)$ ,  $P_{mpoc}^i(x)$  определяется необходимая длина  $l_{\text{onascn}}^i$  защищенного тросами «опасного» подхода, за пределами которого удары молнии в эту ВЛ уже не вызывают опасных грозовых перенапряжений на оборудовании РУ.
  7. На основе интегрирования для  $i$ -ой присоединенной линии зависимостей  $P_{np}^i(x)$ ,  $P_{onopa}^i(x)$ ,  $P_{mpoc}^i(x)$ , полученных по результатам расчетов для нескольких значений расстояния  $x$ , определяются усредненные по длине  $l_{\text{onascn}}^i$  «опасного» подхода значения  $\overline{P}_{np}^i$ ,  $\overline{P}_{onopa}^i$ ,  $\overline{P}_{mpoc}^i$ , которые являются исходными данными для проведения расчетов годового числа опасных для изоляции оборудования перенапряжений  $n$  по формуле:
- $$n = \frac{T_u}{100} \cdot \frac{N}{100} \cdot \sum_1^{N_{\text{ВЛ}}} \left[ l_{\text{onascn}}^i \cdot \left( n_{np} \overline{P}_{np}^i + n_{onopa} \overline{P}_{onopa}^i + n_{mpoc} \overline{P}_{mpoc}^i \right) \right], \quad (2.5)$$
- где  $T_u$  – число грозовых часов в году в районе расположения РУ (по карте грозовой активности из [1]),  $N$  – число ударов (на 100 км длины и 100 грозовых часов) молнии в ВЛ на опорах рассматриваемой конструкции,  $n_{np}$  – относительное число ударов молнии в фазный провод (вероятность прорыва молнии на фазные провода),  $n_{onopa}$  – относительное число ударов молнии в опору,  $n_{mpoc}$  – относительное число ударов молнии в трос в середине пролета. Числовые значения  $N$ ,  $n_{np}$ ,  $n_{onopa}$ ,  $n_{mpoc}$  могут быть определены по рекомендациям [1,11,14,20].
8. Определяется и сравнивается с рекомендациями [1] показатель  $M = 1/n$  (1/лет) защищенности оборудования РУ (например, силового трансформатора) от грозовых перенапряжений.

### **3. ПРИМЕР РАСЧЕТА ГРОЗОВЫХ ПЕРЕНАПРЯЖЕНИЙ**

Разработанные модели для расчета грозовых перенапряжений на оборудовании РУ 35-750 кВ использованы при выполнении целевой программы ОАО «ФСК ЕЭС» по замене вентильных разрядников на ограничители перенапряжений на подстанциях в период 2005-2006 гг., в рамках которой проведены расчеты грозовых перенапряжений более чем в семидесяти РУ 35-750 кВ на 35 подстанциях. На основе анализа полученных в процессе выполнения этой работы результатов сделаны обобщающие выводы относительно защищенности оборудования РУ 35-750 кВ от грозовых перенапряжений, даны рекомендации по способам ее повышения, а также предложения по корректировке требований ПУЭ.

Ниже в качестве иллюстраций приведены результаты расчетов грозозащиты РУ 500 кВ подстанции «Луч» (МЭС Центра). Выбор подстанции «Луч», которая в целом является типовой в своем классе, обусловлен тем, что из двух присоединенных к этой подстанции ВЛ 500 кВ на одной защитный аппарат на входе РУ установлен, а на второй нет. Таким образом, на примере ПС «Луч» удобно сравнивать эффективность каскадных схем, имеющих на входе РУ защитный аппарат, с типовыми схемами, не имеющими такого аппарата.

#### **3.1. Расчет допустимых расстояний от оборудования до защитных аппаратов в зависимости от их типа**

Схема открытого распределительного устройства 500 кВ приведена на рис.3.1. В РУ установлено 4 комплекта защитных аппаратов (у автотрансформаторов АТ-1,2,3 и на ВЛ «Луч - Нижегородская»).

Составленная в соответствии со 2-й главой расчетная ЕМТР схема РУ 500 кВ приведена на рис.3.2: длины участков ошиновки определены по размерной схеме РУ 500 кВ и указаны в метрах; емкости автотрансформаторов (АТ), измерительных трансформаторов напряжения электромагнитного (ТН) и емкостного типа (НДЕ), воздушных выключателей (ВВ), измерительных трансформаторов тока (ТТ), линейных разъединителей (ЛР) приняты усредненными для оборудования 500 кВ по данным [1].

Известно, что прорывы отрицательных молний на фазный провод ВЛ 500 кВ наиболее вероятны при положительной полярности напряжения на проводе [21,22]. В схеме рис.3.2 упрощенно не показан источник напряжения промышленной частоты, задающий напряжение фазного провода так, чтобы на момент удара молнии в фазный провод оно соответствовало амплитуде 428 кВ фазного значения наибольшего рабочего напряжения сети 500 кВ. Далее при расчетах грозовых перенапряжений в РУ совместно с присоединенной ВЛ в ряде случаев учет рабочего напряжения будет произведен (см. рис.3.6).

В общем случае проведение расчетов в схеме рис.3.2 возможно с учетом различия вольтамперных характеристик установленных защитных аппаратов, однако упрощенно считаем, что все четыре защитных аппарата, показанные на рис.3.1 и рис.3.2, имеют близкие друг другу вольтамперные характеристики в режиме ограничения грозовых перенапряжений. Расчеты проведены для значений остающегося напряжения на защитном аппарате (импульс 8/20 мкс амплитудой 10

кА): 900 кВ, 1050 кВ (отмечено на рис.3.2), 1200 кВ. Значение в 1200 кВ является близким к защитному уровню разрядников [23] РВМГ-500 и РВМК-500, а значения 1050 кВ и 900 кВ перекрывают диапазон остающихся напряжений современных ОПН 500 кВ [1,24].

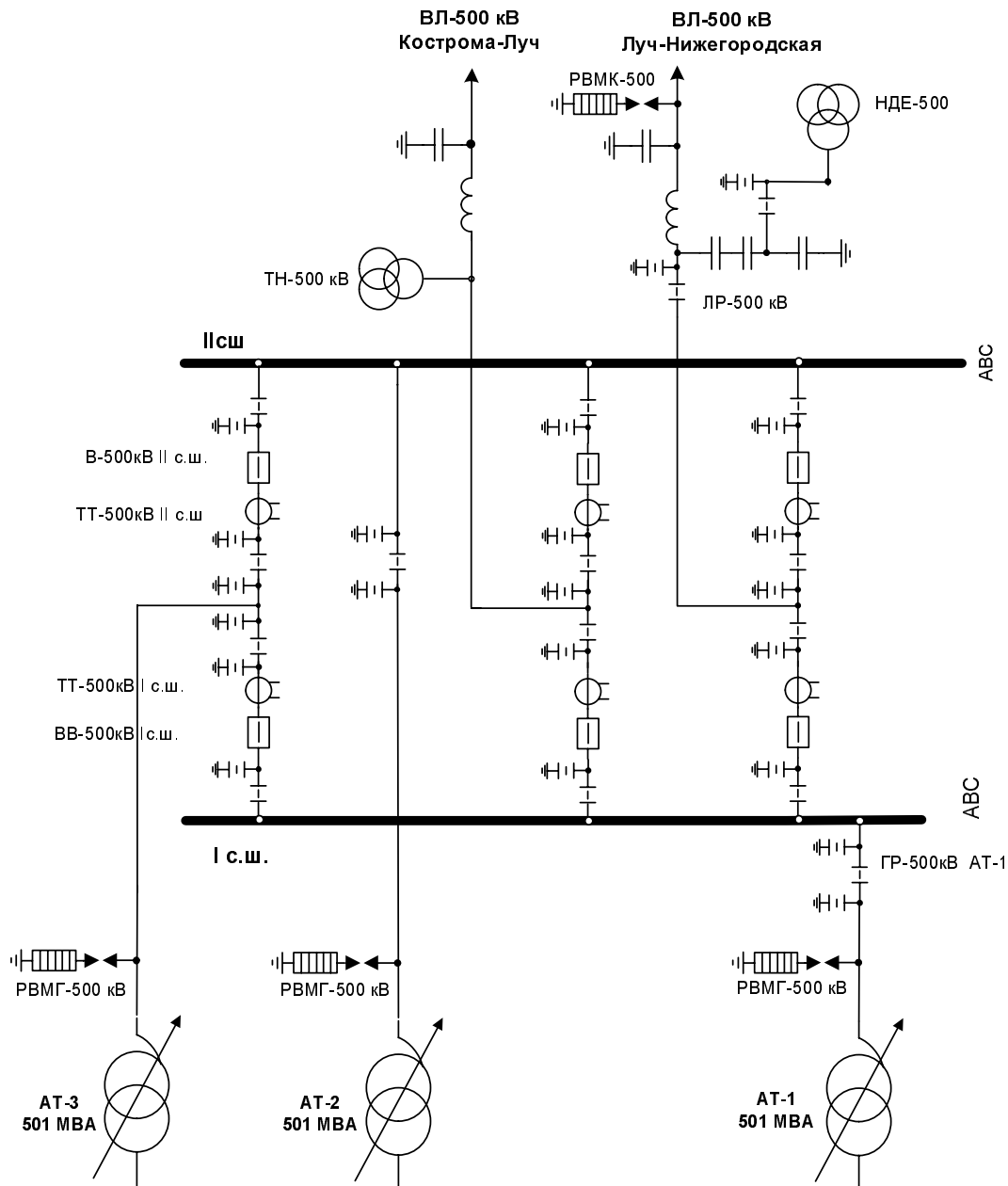


Рис.3.1. Схема РУ 500 кВ ПС «Луч» (МЭС Центра).

На рис.3.3-3.4 приведены расчетные осциллограммы напряжений на стороне 500 кВ автотрансформатора AT-2 и на измерительном ТН-500 кВ, установленном на ВЛ 500 кВ «Кострома - Луч», полученные в схеме рис.3.2 в случае, когда на РУ 500 кВ по ВЛ «Кострома - Луч» набегает косоугольная волна напряжения с амплитудой 2500 кВ и длительностью фронта 1 мкс.

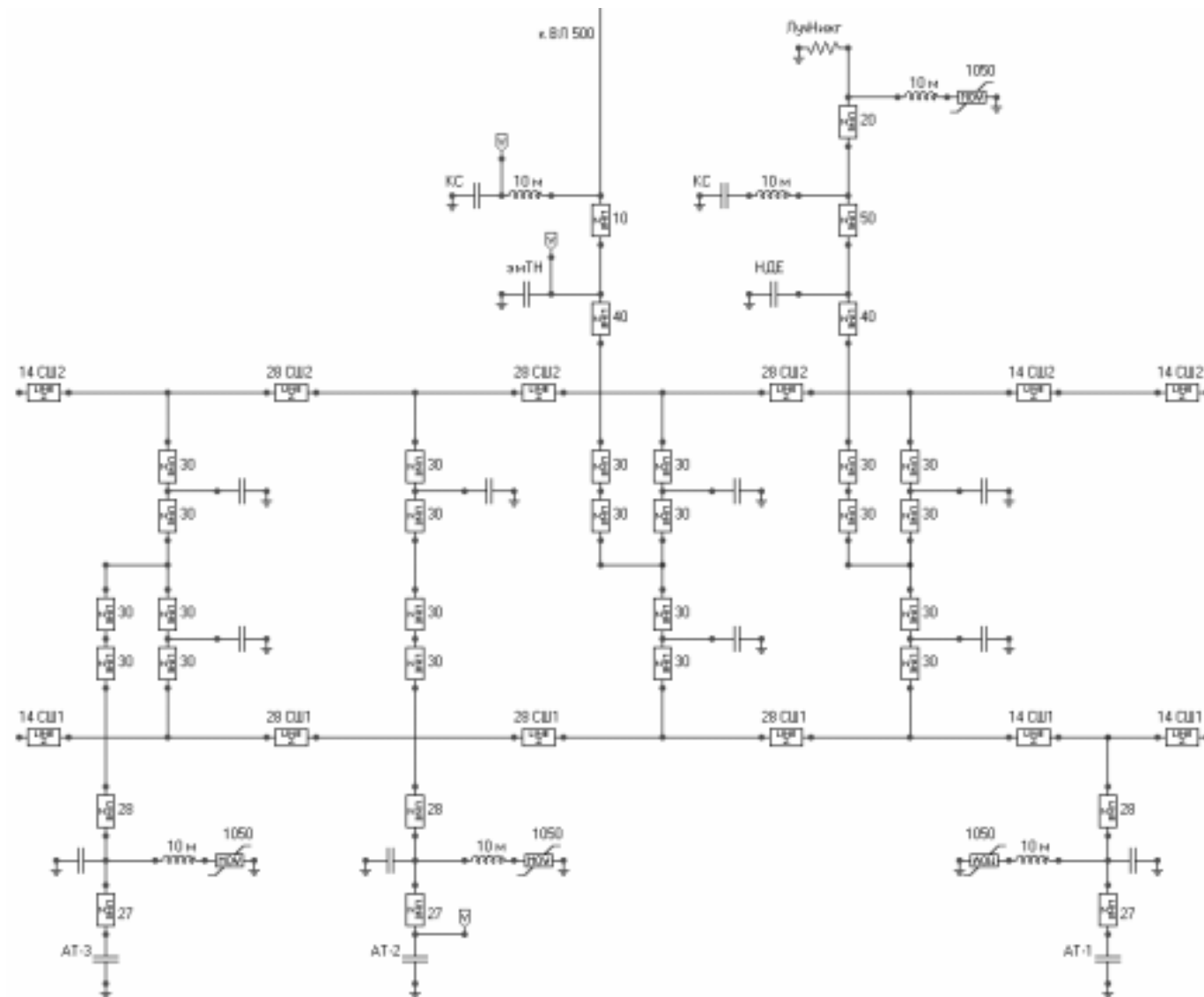


Рис.3.2. Расчетная ЕМТР схема замещения РУ 500 кВ для расчета грозовых перенапряжений на оборудовании при ударе молнии в ВЛ 500 кВ «Кострома - Луч».

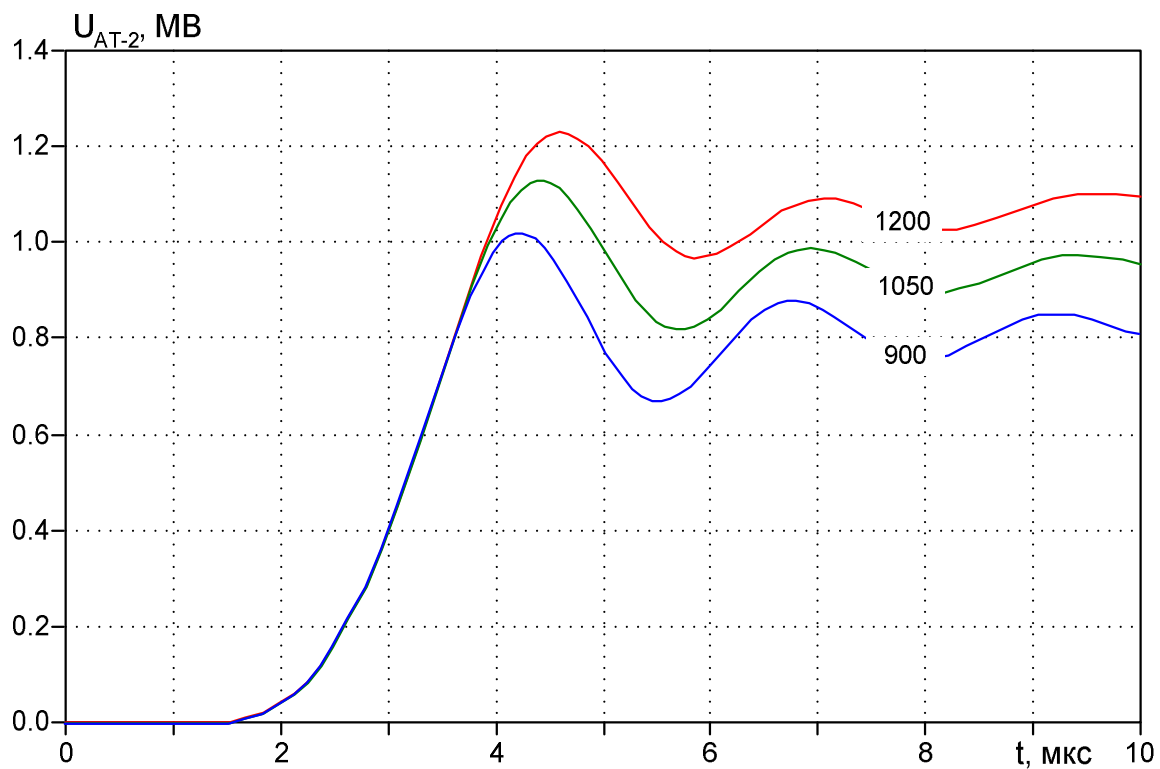


Рис.3.3. Перенапряжения на АТ-2 в зависимости от защитного уровня всех установленных в РУ защитных аппаратов (1200 кВ, 1050 кВ, 900 кВ).

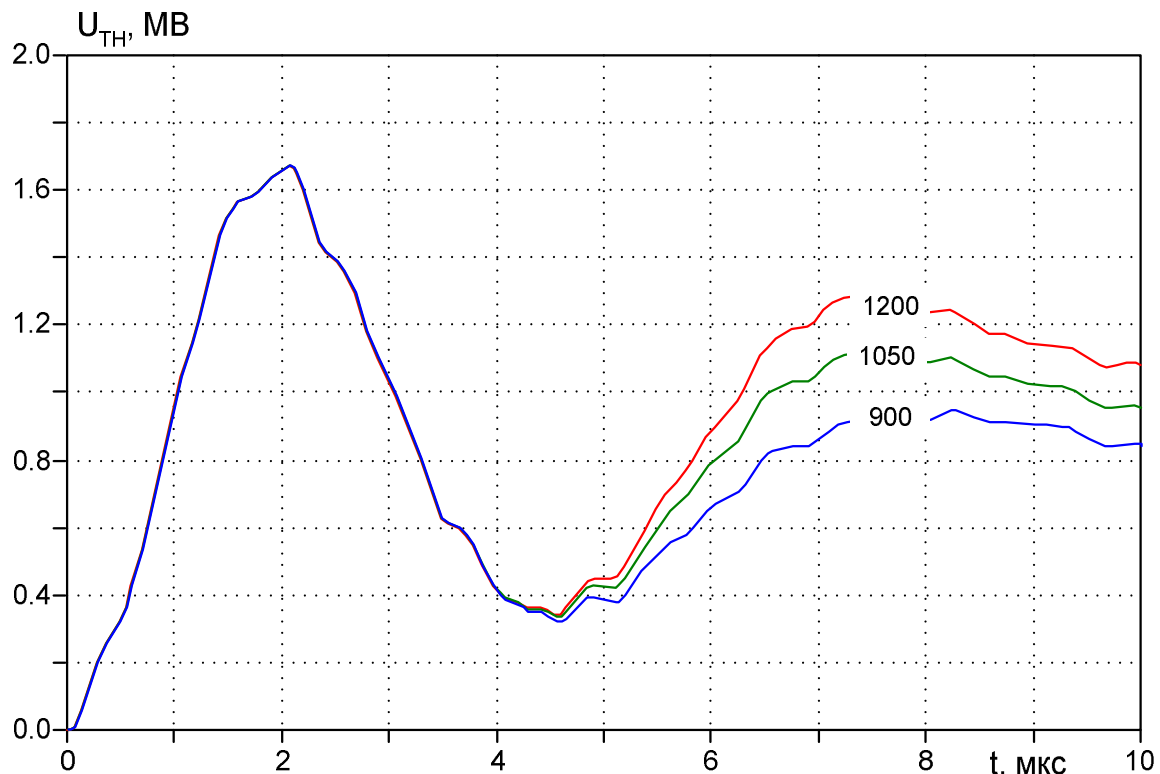


Рис.3.4. Перенапряжения на ТН в зависимости от защитного уровня всех установленных в РУ защитных аппаратов (1200 кВ, 1050 кВ, 900 кВ).

На рис.3.3 показано, что при снижении защитного уровня ограничителей перенапряжений (разрядников) максимальные перенапряжения на АТ-2 снижаются. На снижение перенапряжений на АТ-2 в первую очередь влияет

снижение остающегося напряжения ближайшего к нему ЗА. Учитывая это, без ухудшения защищенности оборудования снижение остающегося напряжения ЗА у АТ-2 можно использовать для увеличения расстояния между АТ-2 и его защитным аппаратом. Следовательно, замена вентильных разрядников (прежде всего, разрядника, установленного у АТ) на современные ОПН позволяет увеличить допустимые расстояния между АТ и его защитным аппаратом.

На рис.3.4 показано, что при снижении защитного уровня защитных аппаратов максимальные перенапряжения на ТН не изменяются, а наличие защитных аппаратов сказывается уже после того, как максимум перенапряжений на оборудовании достигнут. Следовательно, замена даже всех вентильных разрядников в РУ на современные ОПН не позволяет увеличивать допустимые расстояния до наиболее удаленного оборудования РУ.

Для того, чтобы учесть все возможные сочетания параметров набегающих на РУ грозовых волн (фронт, амплитуда, наличие среза из-за перекрытий изоляции ВЛ), расчеты грозовых перенапряжений для РУ 500 кВ ПС «Луч» проведены статистическим методом.

Пусть присоединенные ВЛ 500 кВ выполнены на промежуточных железобетонных опорах типа ПБ-500-1, внешний вид которых [13] приведен на рис.3.5.

Примем для ВЛ 500 кВ [16]: фазные провода 3xACO-400, радиус составляющей расщепленного провода  $r_0 = 1.38$  см, число составляющих  $n = 3$ , шаг расщепления  $D = 40$  см; марка троса С-70, радиус троса  $r = 0.55$  см; расчетная стрела провеса провода  $f_{np} = 10.4$  м, расчетная стрела провеса троса  $f_{mp} = 7.8$  м; длина пролета 450 м.

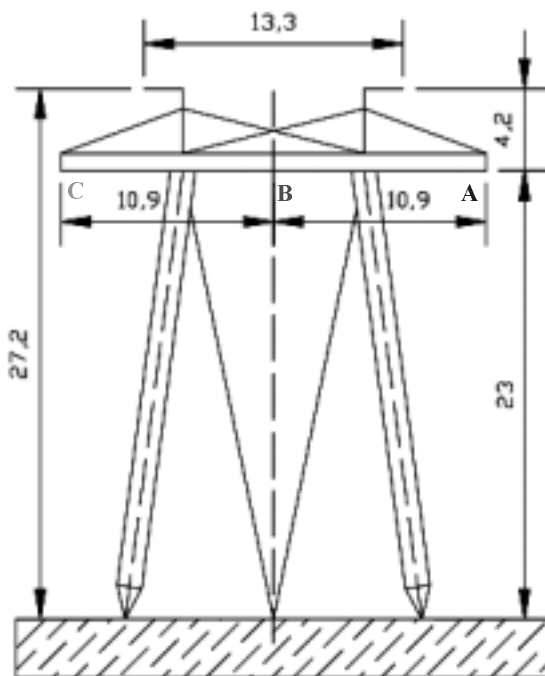


Рис.3.5. Ж/б опора ВЛ 500 кВ типа ПБ-500-1 по [13].

При статистических расчетах грозовых перенапряжений в РУ схема рис.3.2 используется совместно с подробной приведенной на рис.3.6 моделью

примыкающего к РУ 500 кВ участка ВЛ 500 кВ, на котором показаны следующие элементы («жирные» соединительные линии отвечают трехфазным элементам, «тонкие» – однофазным):

- Четыре пролета (каждый пролет разбит на два участка длиной 225 м) ВЛ 500 кВ на опорах ПБ-500-1. Удельное сопротивление грунта вдоль трассы ВЛ 500 кВ принято  $\rho = 100 \text{ Ом} \cdot \text{м}$ , а параметры ВЛ 500 кВ определяются программным комплексом ЕМТР с учетом частотных зависимостей (модель J.Marti [5]) на основе задания геометрических характеристик опоры (рис.3.5) с учетом стрел провеса проводов и тросов в середине пролета.
- С одной стороны к рассматриваемому участку примыкает «концевой» длинный участок ВЛ для неучета отражений от противоположного по отношению к ПС «Луч» конца ВЛ 500 кВ. С другой стороны к рассматриваемому участку примыкает однофазная схема РУ 500 кВ ПС «Луч» (рис.3.2), присоединенная к одному из крайних фазных проводов (так как прорывы молний и обратные перекрытия для ВЛ 500 кВ на опорах ПБ-500-1 практически исключены на средний фазный провод), а два других фазных провода ВЛ 500 кВ заземлены через активное сопротивление, равное волновому сопротивлению ошиновки РУ 500 кВ ( $Z = 300 \text{ Ом}$ ).
- По концам четырех пролетов ВЛ 500 кВ в схему введены модели пяти опор, представляющих из себя набор индуктивностей, величины которых определены с использованием известной геометрии опоры (рис.3.5) и погонных индуктивностей порталовых ж/б опор ( $0.7 \text{ мГн/м}$  по [1]); каждая опора заземлена через активное сопротивление,  $R_s = 20 \text{ Ом}$ , если иное не оговорено.
- На каждой из опор фазные провода (условно обозначены «А,В,С») от траверсы отделены гирляндами линейных изоляторов, которые на схеме учтены своими вольт-секундными характеристиками (блоки вольт-секундных характеристик обозначены «I» от англ. «Insulation» – изоляция). В случае превышения воздействующего на изоляцию перенапряжения значения, определяемого по вольт-секундной характеристике, блок фиксирует факт перекрытия изоляции и соединяет соответствующий фазный провод с траверсой опоры; блок запускается только в случае превышения напряжения на изоляции минимального значения  $U_0$ , принятого равным 430 кВ (несколько больше амплитуды фазного наибольшего рабочего напряжения сети 500 кВ). Длина гирлянды  $L_{uz} = 4.0 \text{ м}$  принята по данным [13], а вольт-секундная характеристика в соответствии с выражением (2.2).
- Блоки, подключаемые через диоды к пораженному молнией крайнему фазному проводу «С», моделирующие импульсную корону на проводах. Блоки представляют собой динамическую емкость коронирующего фазного провода ВЛ 500 кВ на его участке длиной 225 м (половина длины пролета), определяемую на основе мгновенного значения напряжения по (2.3).

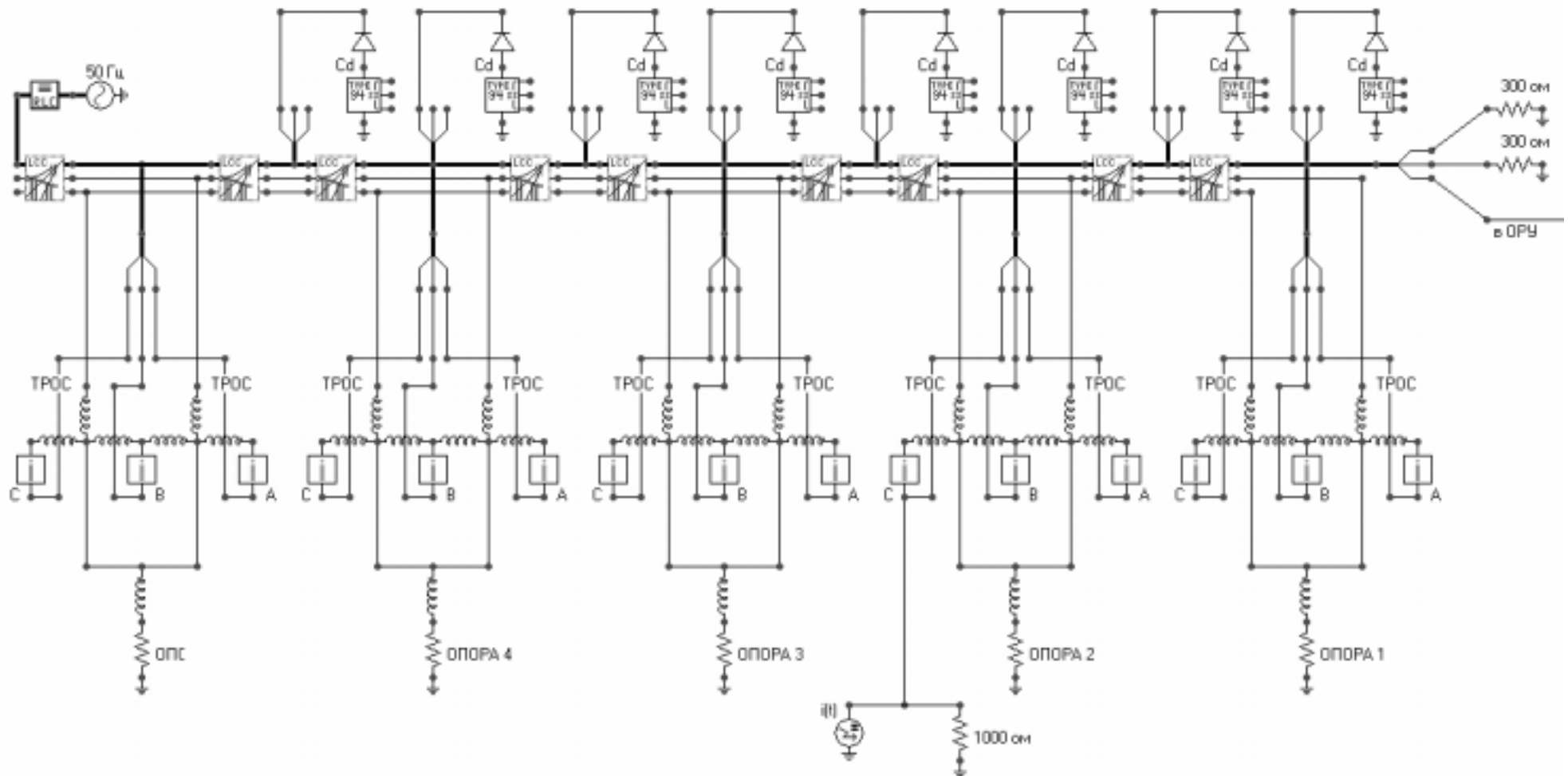


Рис.3.6. Расчетная ЕМТР модель ВЛ 500 кВ, предназначенная для расчета грозовых перенапряжений на оборудовании РУ 500 кВ (схема рис.3.2) совместно с процессами в присоединенных линиях.

- Импульсный источник тока молнии, включаемый в место удара (на схеме – это крайний фазный провод «С» на опоре №2). Форма тока задается импульсом (2.4), у которого принято  $n = 5$ . Волновое сопротивление канала молнии принято постоянным и равным  $Z_m = 1000 \text{ Ом}$  во всем диапазоне токов. Расчеты выполнены для вероятностных распределений параметров токов молнии «НИИПТ» по [1], справедливых для первой компоненты отрицательной молнии, и положено по [1], что амплитуда импульса, фронт и длительность не зависят друг от друга. В ЕМТР импульсный источник тока может быть подключен к ВЛ (к фазному проводу или к тросу) на любом расстоянии  $x$  от входа РУ, однако далее упрощенно учтены лишь дискретные значения  $x$ , кратные длине пролета 450 м, т.е. рассматриваются удары молнии в трос и фазный провода непосредственно на опоре.

Для ВЛ 500 кВ импульсная прочность линейной изоляции достаточно велика, и поэтому обратные перекрытия при ударах молнии в заземленные тросы практически исключены при сопротивлениях заземления опор менее 20 Ом [1], а расчетным случаем для ВЛ 500 кВ при таких сопротивлениях заземления является прорыв молнии сквозь тросовую защиту на фазные провода. Для случая удара молнии в фазный провод ВЛ 500 кВ «Кострома - Луч» на рис.3.7-3.9 в качестве примера приведены распределения вероятности появления перенапряжений выше заданного значения (откладываемого по оси абсцисс) для АТ-2 и ТН, установленного на ВЛ «Кострома - Луч».

В статистических расчетах, проводимых в ЕМТР, наиболее интересна координата по оси вероятностей точки пересечения получаемого распределения максимальных значений грозовых перенапряжений на изоляции оборудования с допустимыми для этой изоляции значениями. Исследования на модели в ЕМТР показали, что для получения этой координаты в большинстве случаев достаточно проводить всего 1000 экспериментов, и, поэтому, на рис.3.7-3.9 и в дальнейшем каждая из кривых получена по результатам статистических расчетов перенапряжений, вызванных 1000 ударами молнии в рассматриваемую точку присоединенной к подстанции ВЛ, что соответствует минимальной вероятности  $P = 0.001$  по оси ординат.

Допустимые уровни грозовых перенапряжений на изоляции оборудования получены по (2.1) и приведены в табл.3.1, но далее, не теряя общности рассуждений, примем во внимание только оборудование с полной изоляцией (класс изоляции «Б»), для которого на рис.3.7-3.9 нанесены допустимые уровни грозовых перенапряжений: для измерительных ТН –  $U_{don} = 1568 \text{ кВ}$ ; для АТ и НДЕ –  $U_{don} = 1430 \text{ кВ}$ .

Представленные на рис.3.7-3.9 зависимости были получены в предположении, что все четыре комплекта защитных аппаратов, установленных в РУ 500 кВ, имеют одинаковые вольтамперные характеристики: для рис.3.7-3.8 остающееся напряжение на импульсе 8/20 мкс амплитудой 10 кА составляет 1200 кВ; для рис.3.9 остающееся напряжение варьировалось (900, 1050, 1200 кВ).

Табл.3.1. Испытательные напряжения полного грозового импульса оборудования класса 500 кВ по ГОСТ 1516.3-96 и допустимые грозовые перенапряжения, определенные по рекомендациям [11].

Оборудование	Напряжение полного грозового импульса, кВ			
	Испытательное		Допустимое	
	Класс изоляции			
	«А»	«Б»	«А»	«Б»
силовые трансформаторы	1300	1550	1155	1430
электромагнитные ТН	1425	1675	1293	1568
НДЕ, ТТ, аппараты	1425	1550	1293	1430

Из рис.3.7 видно влияние импульсной короны на максимальные грозовые перенапряжения на оборудовании РУ 500 кВ, учет которой приводит к существенному снижению вероятности возникновения опасных перенапряжений для всего оборудования РУ, а особенно – для наименее защищенного оборудования (электромагнитного трансформатора напряжения ТН-500 на ВЛ «Кострома - Луч») – от значения  $P = 0.26$  до  $P = 0.057$ , т.е. почти в пять раз.

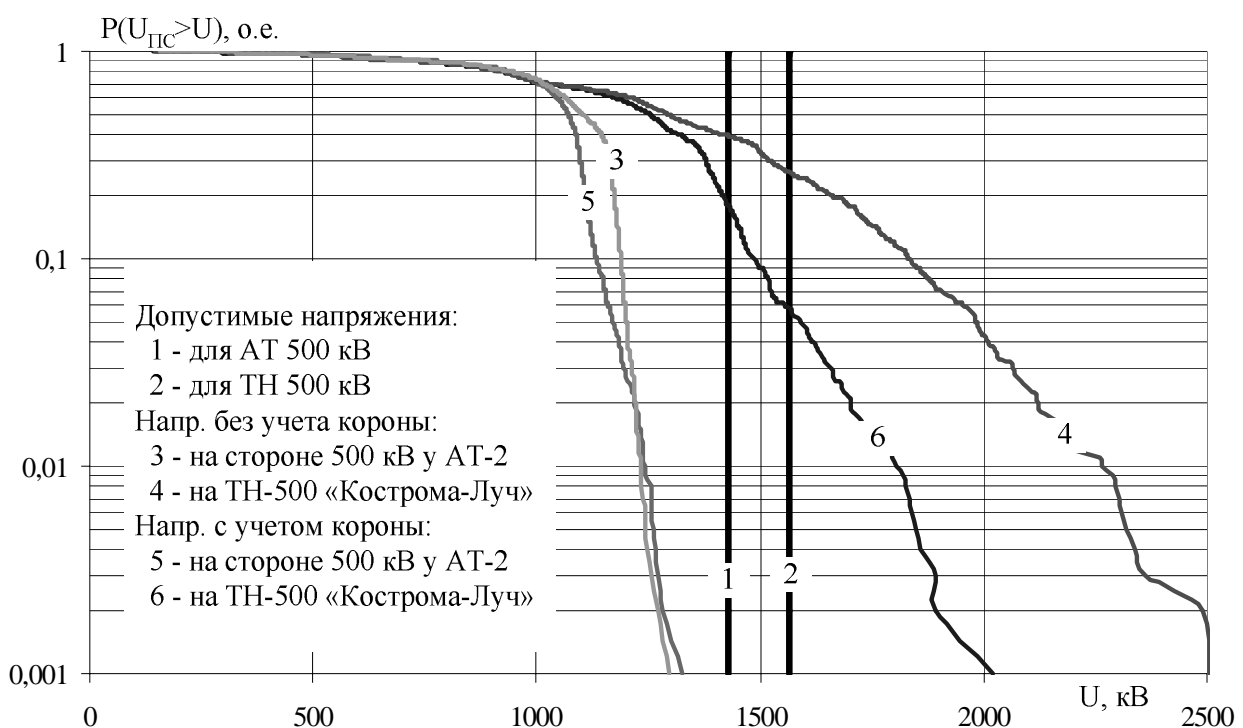


Рис.3.7. Влияние импульсной короны на максимальные грозовые перенапряжения на оборудовании РУ 500 кВ (рассмотрены удары молнии в фазный провод ВЛ 500 кВ «Кострома - Луч» на расстоянии 450 м от входа ПС «Луч»; не учитывается рабочее напряжение на проводах ВЛ и РУ).

На рис.3.8 показано влияние начального рабочего напряжения на проводах ВЛ 500 кВ и РУ 500 кВ в момент удара молнии (отрицательной полярности) в присоединенную к РУ линию. Учет наиболее неблагоприятной величины

рабочего напряжения (для сети 500 кВ это +428 кВ) приводит к увеличению вероятности возникновения опасных перенапряжений для всего оборудования РУ, а особенно – для наименее защищенного оборудования (электромагнитного трансформатора напряжения ТН-500 на ВЛ «Кострома - Луч») – от значения  $P = 0.057$  до  $P = 0.08$ , т.е. практически в полтора раза.

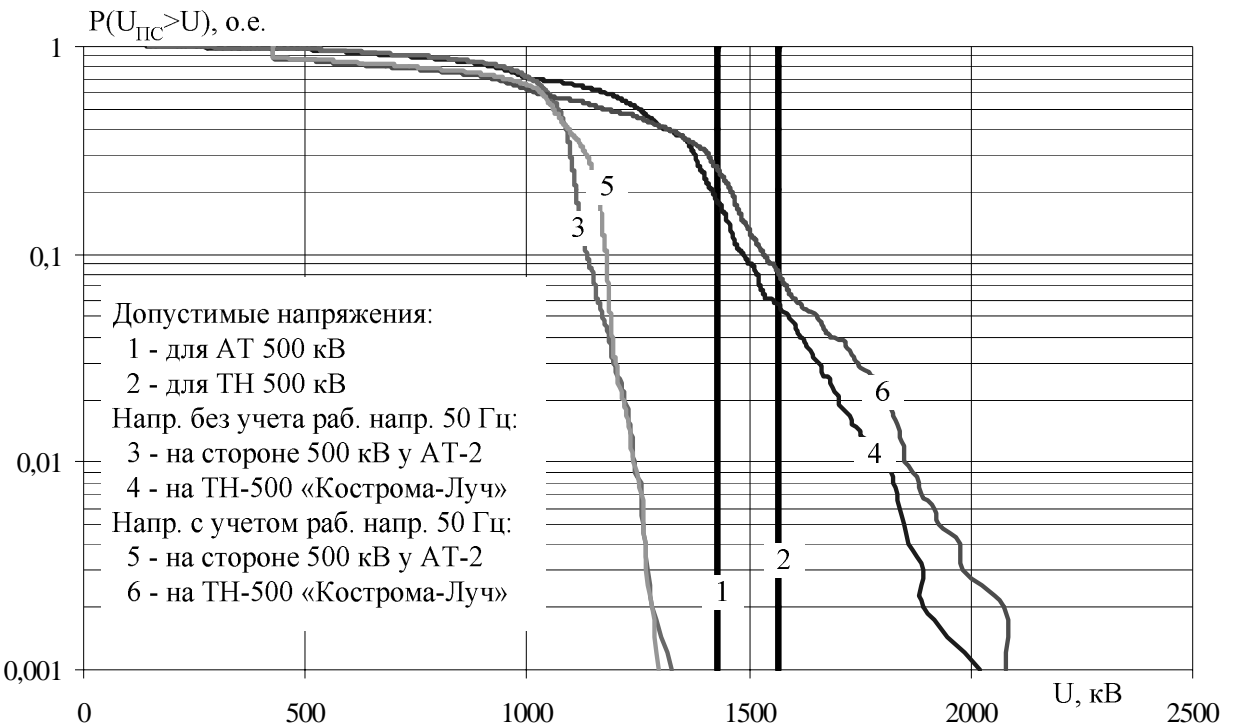


Рис.3.8. Влияние рабочего напряжения положительной полярности (+428 кВ) на максимальные грозовые перенапряжения на оборудовании РУ 500 кВ (рассмотрены удары отрицательной молнии в фазный провод ВЛ 500 кВ «Кострома - Луч» на расстоянии 450 м от входа ПС «Луч»; учтена импульсная корона на проводах ВЛ).

Приведенные на рис.3.9 распределения вероятностей появления максимальных грозовых перенапряжений на изоляции АТ-2 (кривые 3,4,5) и на изоляции ТН-500 (кривые 6,7,8), получены при варьировании вольтамперной характеристики защитных аппаратов, принятой одинаковой для всех четырех аппаратов, установленных в РУ 500 кВ (на импульсе тока 8/20 мкс с амплитудой 10 кА остающееся напряжение составляет 1200 кВ, 1050 кВ, 900 кВ). Из рис.3.9 видно, что снижение остающегося напряжения защитных аппаратов приводит к снижению уровня максимальных грозовых перенапряжений на АТ, однако снижения уровня максимальных грозовых перенапряжений на удаленном от защитных аппаратов оборудовании (на ТН-500 кВ «Кострома - Луч») практически не происходит, т.е. надежность защиты от перенапряжений удаленного оборудования не изменяется.

На основе результатов расчетов, проиллюстрированных рис.3.9, а также осциллограммами рис.3.3-3.4, сделаны следующие обобщающие выводы:

- при снижении остающегося напряжения защитных аппаратов, установленных в РУ, максимальные грозовые перенапряжения на оборудовании снижаются;

- степень снижения грозовых перенапряжений на оборудовании (при заданном снижении остающегося напряжения защитных аппаратов) зависит от удаленности этого оборудования от защищенных аппаратов;
- наибольшее снижение перенапряжений достигается для силовых трансформаторов и автотрансформаторов, так как они наиболее близко расположены к защитным аппаратам;
- минимальное снижение перенапряжений характерно для наиболее удаленного от защитных аппаратов оборудования РУ.

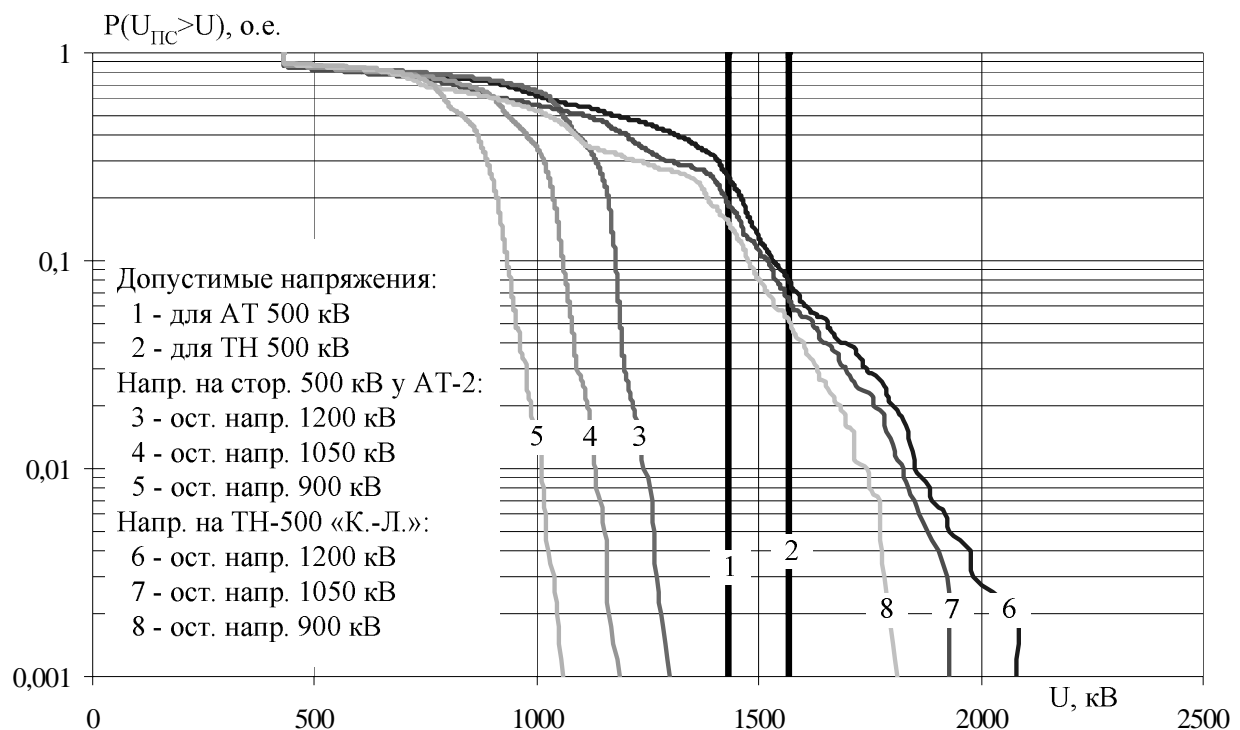


Рис.3.9. Влияние остающегося напряжения защитных аппаратов на максимальные грозовые перенапряжения на оборудовании РУ 500 кВ (рассмотрены удары отрицательной молнии в фазный провод ВЛ 500 кВ «Кострома - Луч» на расстоянии 450 м от входа ПС «Луч»; учтено возникновение импульсной короны на проводах ВЛ и рабочее напряжение +428 кВ на проводах ВЛ и РУ).

### 3.2. Расчет необходимой длины тросового подхода ВЛ

Расчеты грозовых перенапряжений (рис.3.9) показали, что наименее защищенным оборудованием РУ 500 кВ при ударах молнии в ВЛ 500 кВ «Кострома - Луч» является измерительный трансформатор ТН-500 «Кострома - Луч». Аналогично приведенным на рис.3.9 результатам можно показать, что при ударах молнии в ВЛ 500 кВ «Луч - Нижегородская» наименее защищенным оборудованием РУ 500 кВ является измерительный трансформатор емкостного типа НДЕ-500 «Луч - Нижегородская».

Влияние удаленности места удара молнии в фазный провод ВЛ 500 кВ на максимальные грозовые перенапряжения на наименее защищенном оборудовании РУ 500 кВ отражено на рис.3.10 (удар в ВЛ 500 кВ «Кострома - Луч») и рис.3.11 (удар молнии в ВЛ 500 кВ «Луч - Нижегородская»). При получении рис.3.10-3.11 было принято, что все четыре комплекта защитных аппаратов, установленных в

РУ 500 кВ, имеют одинаковые вольтамперные характеристики (остающееся напряжение на импульсе 8/20 мкс амплитудой 10 кА составляет 1200 кВ).

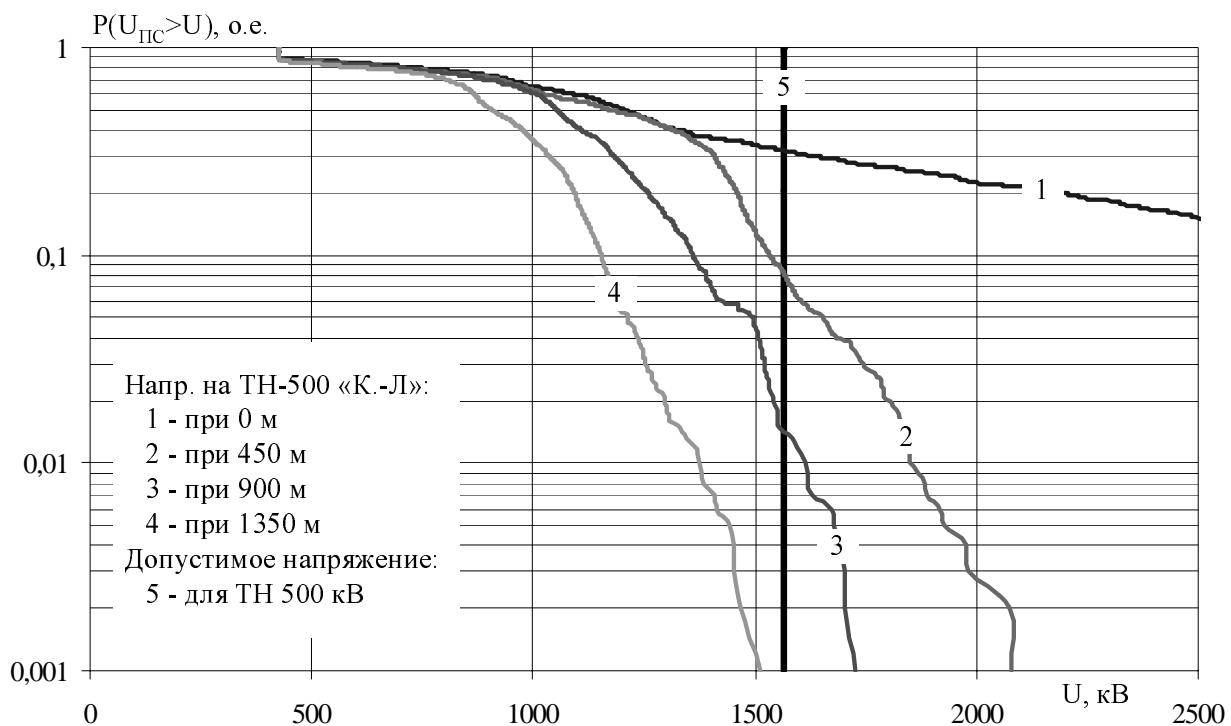


Рис.3.10. Влияние удаленности от входа ПС «Луч» места удара молнии в фазный провод ВЛ 500 кВ «Кострома - Луч» на максимальные грозовые перенапряжения на изоляции ТН-500 «Кострома - Луч» (учтена импульсная корона на проводах ВЛ; учтено рабочее напряжение +428 кВ на проводах ВЛ и РУ).

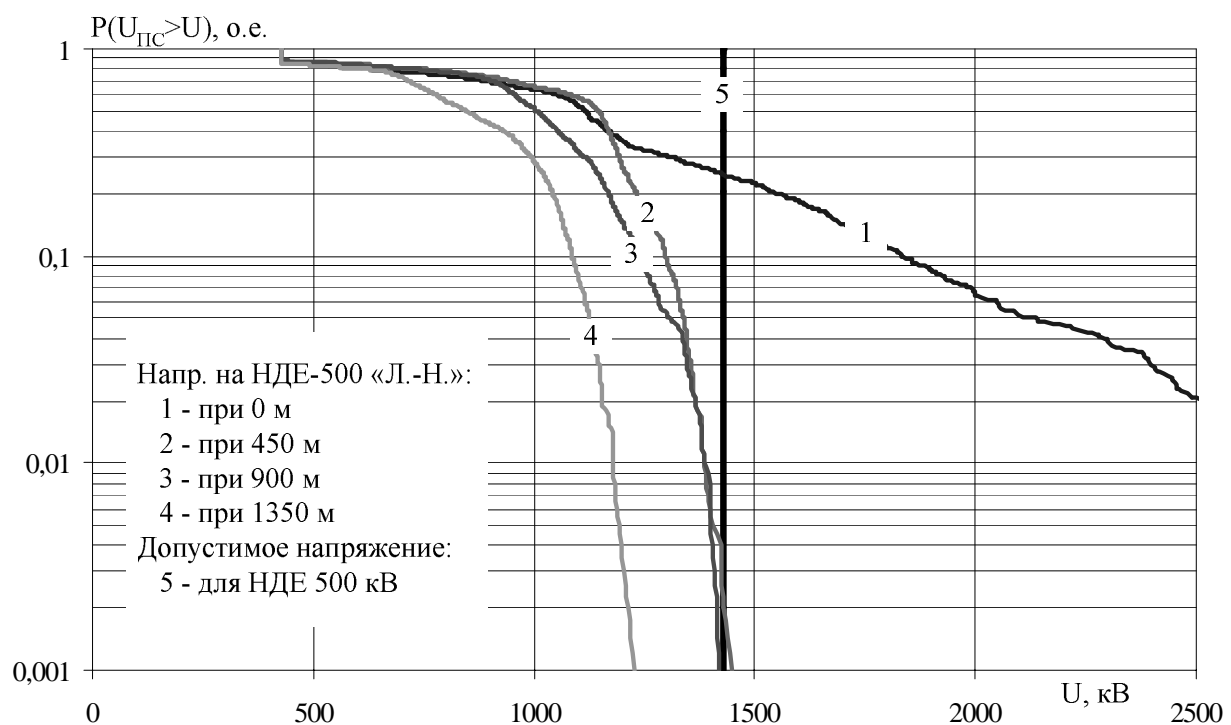


Рис.3.11. Влияние удаленности от входа ПС «Луч» места удара молнии в фазный провод ВЛ 500 кВ «Луч - Нижегородская» на максимальные грозовые перенапряжения на изоляции НДЕ-500 «Луч - Нижегородская» (учтена импульсная корона на проводах ВЛ; учтено рабочее напряжение +428 кВ на проводах ВЛ и РУ).

На рис.3.10-3.11 показано, что максимальные грозовые перенапряжения на оборудовании РУ 500 кВ возникают при наиболее близких к РУ ударах молнии в присоединенные ВЛ 500 кВ. С увеличением расстояния от места удара молнии в ВЛ 500 кВ до РУ максимальные грозовые перенапряжения на оборудовании РУ 500 кВ снижаются, что соответствует уменьшению вероятности появления опасного для изоляции грозового перенапряжения.

В расчетной модели при ударах молнии в ВЛ 500 кВ «Кострома - Луч» (рис.3.10) на расстоянии более 1350 м от входа РУ грозовые перенапряжения на наименее защищенном оборудовании РУ 500 кВ ни в одном из случаев не превзошли допустимого для изоляции уровня. При ударах в ВЛ 500 кВ «Луч - Нижегородская» (рис.3.11) соответствующее расстояние меньше и находится в диапазоне 450-900 м, что обусловлено наличием в линейной ячейке этой ВЛ 500 кВ защитного аппарата.

Проведенные расчеты, проиллюстрированные рис.3.10-3.11 на примере РУ 500 кВ, позволяют сделать следующие выводы:

- наибольшую опасность для оборудования РУ представляют грозовые перенапряжения, вызванные ударами молнии в фазные провода присоединенных ВЛ на расстоянии не более 500-1500 м от РУ (длина так называемого «опасного» подхода);
- удары молнии в фазные провода ВЛ на расстоянии более 500-1500 м практически не способны вызвать опасных грозовых перенапряжений на оборудовании РУ;
- для снижения числа прямых ударов молнии в фазные провода, а значит и числа опасных грозовых перенапряжений на оборудовании РУ, на длине «опасного» подхода ВЛ к РУ необходима установка тросовой защиты;
- увеличение длины тросового подхода ВЛ к РУ свыше длины «опасного» подхода не изменяет (не повышает) защищенности оборудования РУ от грозовых перенапряжений;
- наименьшая длина «опасного» подхода ВЛ к РУ необходима на тех присоединенных ВЛ, в линейных ячейках которых установлены защитные аппараты (разрядники или ОПН); на подходах таких ВЛ иногда допустимо не устанавливать трос, так как ОПН линейной ячейки берет на себя выполнении роли троса по снижению числа опасных волн, проходящих на подстанцию.

### **3.3. Каскадные схемы защиты оборудования и их эффективность**

На рис.3.12 в зависимости от удаленности места удара молнии в ВЛ 500 кВ показано изменение вероятности превышения грозовыми перенапряжениями допустимого для изоляции уровня (кривые 1 и 3, приведенные на рис.3.12, получены с использованием данных рис.3.10 и рис.3.11 соответственно).

В соответствии с выражением (2.5), в котором для РУ 500 кВ могут быть исключены слагаемые от обратных перекрытий на присоединенных ВЛ 500 кВ (при сопротивлении заземления опор менее 20 Ом), оценка защищенности оборудования РУ 500 кВ от грозовых перенапряжений при ударах в фазные

проводы ВЛ 500 кВ пропорциональна площади  $\overline{P_{np}}^i$  ( $i=1,2$ ) под кривыми на рис.3.12, а наибольшая защищенность от грозовых перенапряжений будет у того оборудования, для которого рассматриваемая площадь минимальна. Площади под кривыми 1-4 (рис.3.12) приведены в табл.3.2.

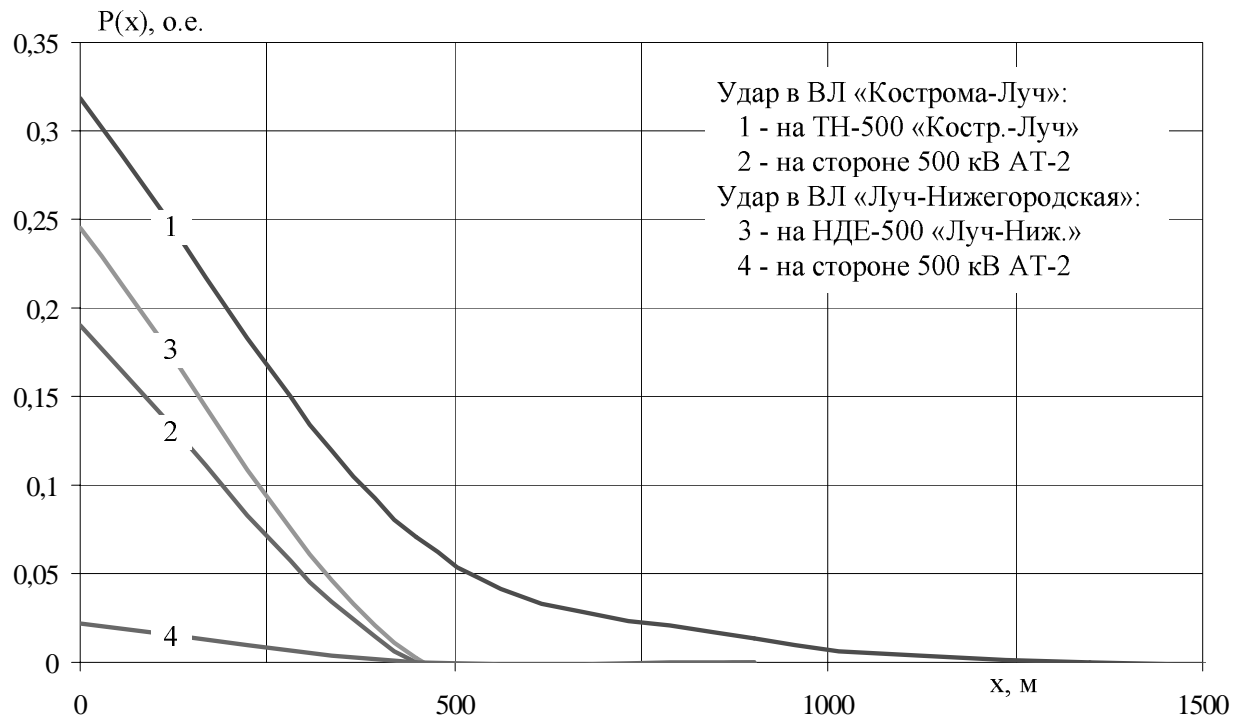


Рис.3.12. Влияние удаленности от входа ПС «Луч» места удара молнии в фазный провод присоединенных ВЛ 500 кВ на максимальные грозовые перенапряжения на изоляции оборудования РУ 500 кВ (учтена импульсная корона на проводах ВЛ; учтено рабочее напряжение +428 кВ на проводах ВЛ и РУ).

Табл.3.2. Площадь (о.е.×м) под кривыми 1-4 (рис.3.12).

номер кривой по рис.3.12	удар молнии в фазный провод ВЛ 500 кВ	оборудование ОРУ 500 кВ	площадь под кривой
1	"Кострома - Луч"	ТН-500	110
2		АТ-2	43
3	"Луч - Нижегородская"	НДЕ-500	55
4		АТ-2	5

На основе анализа табл.3.2 и рис.3.12 можно сказать, что:

- наименее защищенным оборудованием РУ является оборудование линейных ячеек присоединенных ВЛ (при отсутствии в них защитных аппаратов);
- наличие в линейной ячейке присоединенной ВЛ защитного аппарата (разрядника или ОПН) повышает защищенность от грозовых перенапряжений установленного в ней оборудования (для РУ 500 кВ ПС «Луч» в 2 раза согласно табл.3.2);

- наличие в линейной ячейке присоединенной ВЛ защитного аппарата существенно повышает защищенность установленных в РУ силовых трансформаторов и автотрансформаторов от грозовых перенапряжений, вызванных ударами молний в эту ВЛ (для РУ 500 кВ ПС «Луч» в 8-9 раз согласно табл.3.2);
- наиболее защищенным от грозовых перенапряжений будет оборудование того РУ, в котором в линейных ячейках присоединенных ВЛ установлены защитные аппараты; в таких РУ практически исключены повреждения изоляции силовых трансформаторов и автотрансформаторов от грозовых перенапряжений, вызванных набегающими с присоединенных ВЛ грозовыми волнами.

Схема рис.3.13 защиты оборудования РУ от грозовых перенапряжений, когда по ходу набегающей с ВЛ грозовой волны последовательно установлены два защитных аппарата (один – в линейной ячейке или на сборных шинах, второй – у трансформатора или автотрансформатора), называется «каскадной» и, как показали исследования, является очень эффективной для защиты оборудования от грозовых перенапряжений и особенно эффективной при  $L_3 + L_2 > L_1$ .

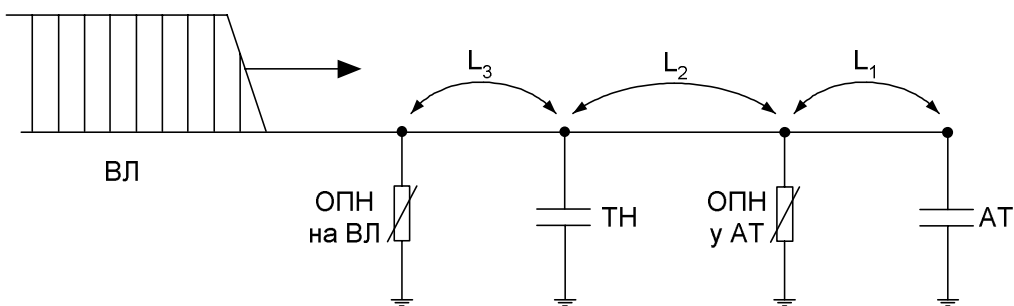


Рис.3.13. Каскадная схема защиты оборудования РУ от грозовых перенапряжений, вызванных набегающими с ВЛ грозовыми волнами.

### 3.4. Учет обратных перекрытий на присоединенных ВЛ

Удары молний в заземленные тросы ВЛ 500 кВ не приводят к обратным перекрытиям с опоры на фазные провода при сопротивлениях заземления опор, меньших 20 Ом. Как правило, на подходах ВЛ к РУ стремятся обеспечить сопротивления заземления опор ВЛ, не превосходящие 10-20 Ом [3], однако известны случаи, когда не удается обеспечить низких сопротивлений заземления опор ВЛ на подходах РУ. В таких случаях при расчетах грозовых перенапряжений на оборудование РУ, вызванных ударами в присоединенные ВЛ, необходимо учитывать обратные перекрытия на фазные провода на подходах к РУ.

Удары молний в трос в средней части пролета ВЛ могут приводить к обратным перекрытиям на опоре с заметно меньшей вероятностью, чем при ударах молний в опору или трос вблизи нее. Поэтому далее упрощенно не рассмотрены удары молний в трос в средней части пролета, а все внимание сосредоточено на ударах молний непосредственно в опору (удаленность  $x$  места удара молнии в ВЛ от входа РУ кратна длине пролета).

Аналогично случаю удара молнии в фазный провод на рис.3.14 (удар в ВЛ 500 кВ «Кострома - Луч») и рис.3.15 (удар молнии в ВЛ 500 кВ «Луч -

Нижегородская) рассмотрено влияние удаленности места удара молнии в опору ВЛ 500 кВ на максимальные грозовые перенапряжения на наименее защищенном оборудовании РУ 500 кВ. При получении рис.3.14-3.15 было принято, что все четыре комплекта защитных аппаратов, установленных в РУ 500 кВ, имеют одинаковые вольтамперные характеристики (остающееся напряжение на импульсе 8/20 мкс амплитудой 10 кА составляет 1200 кВ), а сопротивление заземления всех опор ВЛ, в отличие от ранее рассмотренных случаев, составляет  $R_3 = 50$  Ом.

На рис.3.16 в зависимости от удаленности места удара молнии в опору ВЛ 500 кВ показано изменение вероятности превышения грозовыми перенапряжениями допустимого для изоляции уровня (кривые 1 и 3, приведенные на рис.3.16, получены с использованием данных рис.3.14 и рис.3.15 соответственно). Площади под кривыми 1-4 (рис.3.16) приведены в табл.3.3.

Табл.3.3. Площадь ( $o.e.\times m$ ) под кривыми 1-4 (рис.3.16).

номер кривой по рис.3.16	удар молнии в трос на опоре ВЛ 500 кВ	оборудование РУ 500 кВ	площадь под кривой
1	"Кострома - Луч"	ТН-500	34
2		АТ-2	10
3	"Луч - Нижегородская"	НДЕ-500	22
4		АТ-2	1

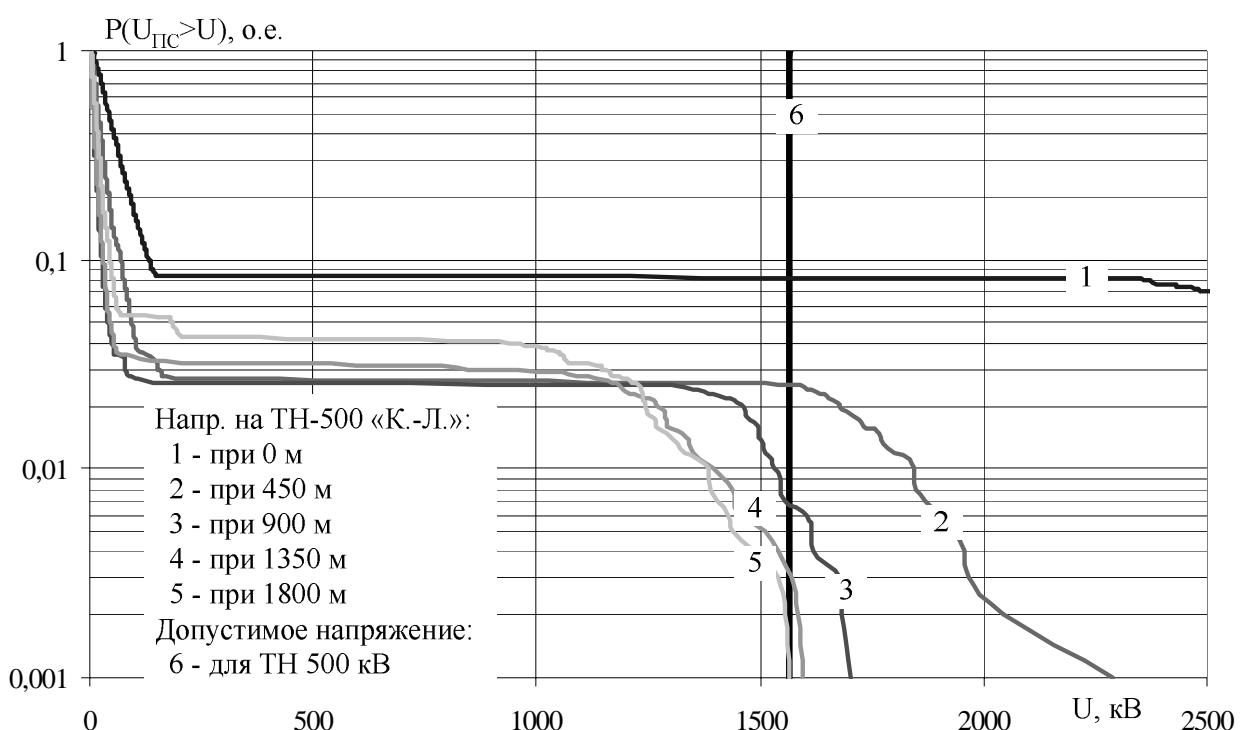


Рис.3.14. Влияние удаленности от входа ПС «Луч» места удара молнии в опору ВЛ 500 кВ «Кострома - Луч» на максимальные грозовые перенапряжения на изоляции ТН-500 «Кострома - Луч» (учтена импульсная корона на проводах ВЛ; рабочее напряжение на проводах ВЛ и РУ не учтено;  $R_3 = 50$  Ом).

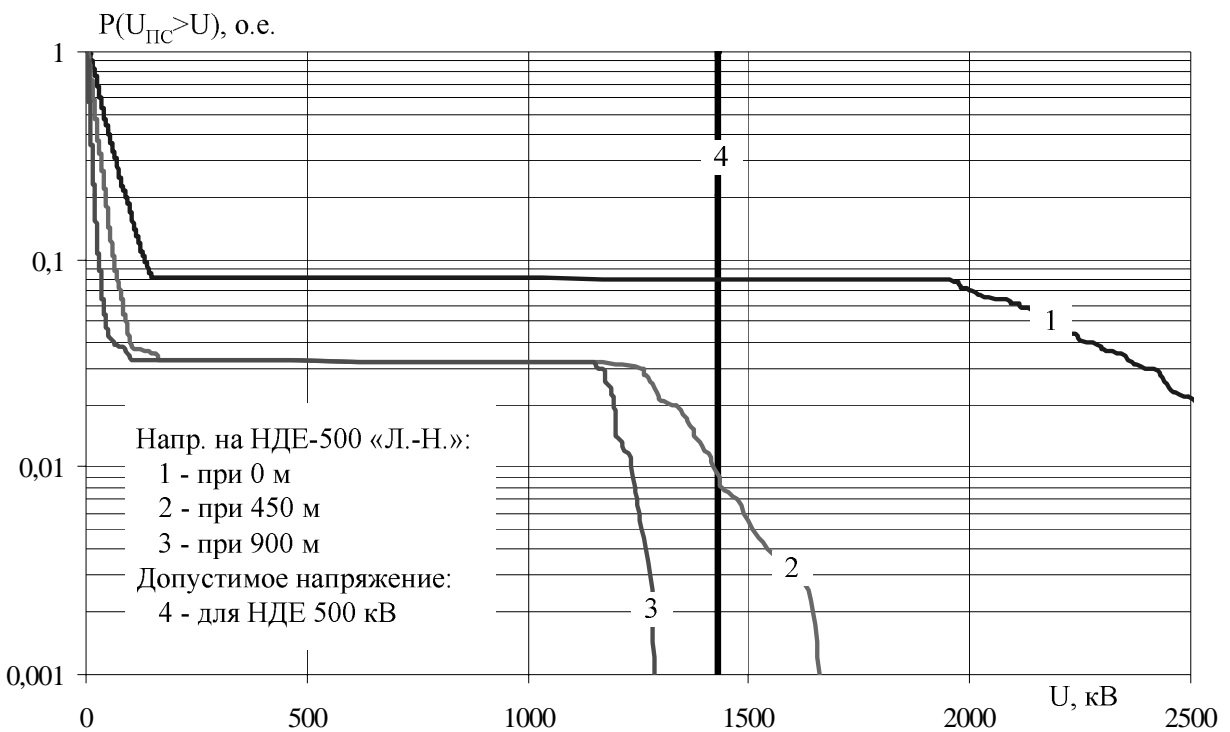


Рис.3.15. Влияние удаленности от входа ПС «Луч» места удара молнии в опору ВЛ 500 кВ «Луч - Нижегородская» на максимальные грозовые перенапряжения на изоляции НДЕ-500 «Луч - Нижегородская» (учтена импульсная корона на проводах ВЛ; рабочее напряжение на проводах ВЛ и РУ не учтено;  $R_3 = 50$  Ом).

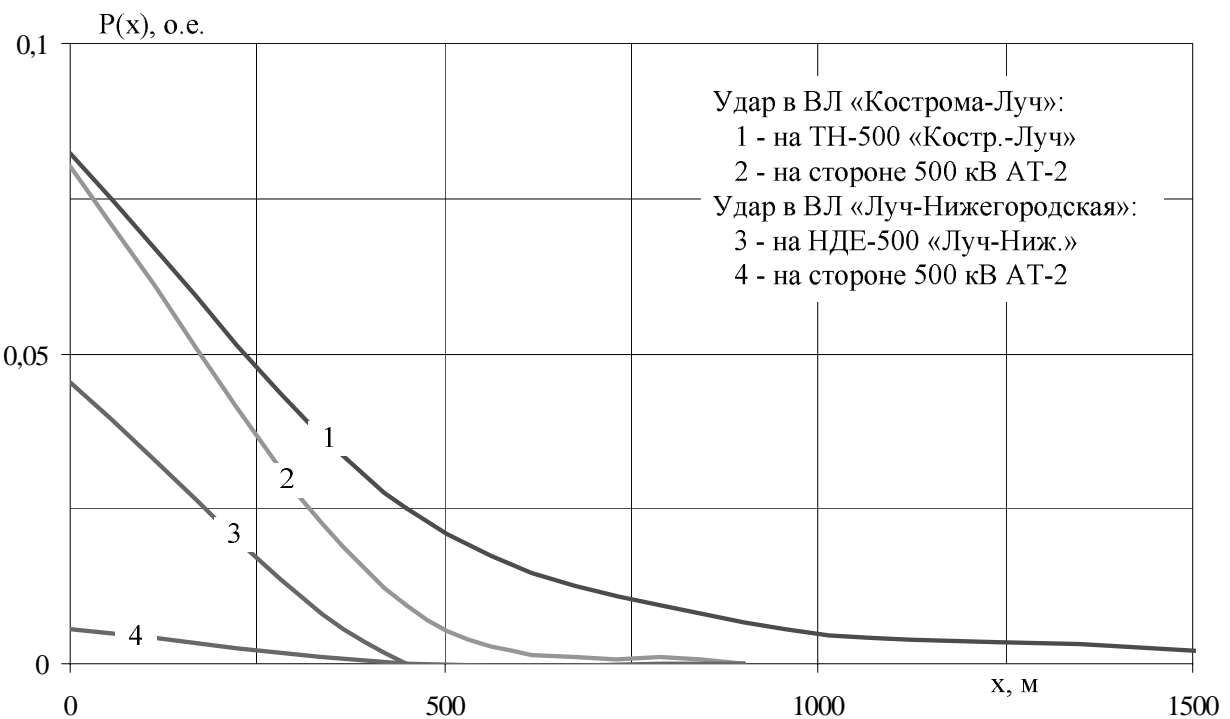


Рис.3.16. Влияние удаленности от входа ПС «Луч» места удара молнии в опору присоединенных ВЛ 500 кВ на максимальные грозовые перенапряжения на изоляции оборудования РУ 500 кВ (учтена импульсная корона на проводах ВЛ; рабочее напряжение на проводах ВЛ и РУ не учтено;  $R_3 = 50$  Ом).

На основе анализа табл.3.3 и рис.3.16, учитывая данные [1], свидетельствующие о существенном влиянии сопротивления заземления опор различной конструкции на число обратных перекрытий при ударах молний опоры и тросы, сделаны следующие выводы (в дополнение к выводам на основе табл.3.2):

- число набегающих на РУ грозовых волн, вызванных ударами молний в опоры и тросы присоединенных ВЛ, существенно зависит от сопротивления заземления опор на подходах ВЛ к РУ; следовательно, защищенность оборудования РУ от грозовых перенапряжений так же существенно зависит от сопротивления заземления опор на подходах ВЛ к РУ;
- так как число ударов молний в опоры и тросы по крайней мере на порядок больше числа прорывов молний на фазные провода, то важнейшей задачей защиты оборудования РУ от грозовых перенапряжений является обеспечение как можно более низких сопротивлений заземления опор ВЛ на подходах к РУ;
- наиболее важно обеспечение минимальных сопротивлений заземления 2-3 ближайших к РУ опор присоединенных ВЛ;
- в случае невозможности обеспечения малых сопротивлений заземления ближайших к РУ опор присоединенной ВЛ высокой защищенности оборудования РУ от грозовых перенапряжений можно достичь установкой защитного аппарата (разрядника или ОПН) в линейной ячейке этой ВЛ.

### 3.5. Оценка числа лет безаварийной работы оборудования при грозовых перенапряжениях

Согласно рекомендациям [1] для ВЛ 500 кВ на промежуточных опорах типа ПБ-500-1 определены следующие необходимые для расчета по (2.5) величины:  $N = 84$  удара на 100 км длины ВЛ и 100 грозовых часов; относительное число (вероятность) прорывов молний на фазные провода  $n_{np} = 0.0052$  о.е.; относительное число ударов молний в опору  $n_{onopa} = 0.24$  о.е. и в трос  $n_{onopat} = 0.76$  о.е. Исходные данные для расчета по (2.5) приведены в табл.3.4, которая составлена на основе табл.3.2-3.3 и рис.3.12, рис.3.16, а результаты расчетов содержатся в табл.3.5.

Табл.3.4. Исходные данные для расчета по (2.5) для наименее защищенного от грозовых перенапряжений оборудования РУ 500 кВ ПС «Луч».

i	удар молний в ВЛ 500 кВ	оборудование	$l_{onasp}^i \cdot \overline{P}_{np}^i$ , км	$l_{onasp}^i \cdot \overline{P}_{np}^i$ , о.е.×км	$l_{onasp}^i \cdot \overline{P}_{onopa}^i$ , о.е.×км		$l_{onasp}^i \cdot \overline{P}_{tros}^i$ , о.е.×км
					<20 Ом	50 Ом	
1	"Кострома - Луч"	ТН-500	1,35	0,110	0	0,034	0
2	"Луч - Нижегор."	НДЕ-500	0,45	0,055	0	0,022	0

Общий уровень защищенности РУ от грозовых перенапряжений определяется наиболее удаленным от защитных аппаратов оборудованием –

измерительными трансформаторами напряжения ТН-500 и НДЕ-500, и поэтому в результате расчетов грозовых перенапряжений важно оценить достаточность защищенности именно указанного оборудования. Для этого полученные в табл.3.5 оценки  $M$  защищенности оборудования от грозовых перенапряжений сопоставлены с рекомендуемыми уровнями.

Табл.3.5. Оценка по (2.5) защищенности от грозовых перенапряжений наименее защищенного оборудования РУ 500 кВ ПС «Луч» (при  $T_u = 100$  часов в год).

i	удар молнии в ВЛ	оборудование	$R_3$ , Ом	n, 1/год	M, лет
1	"Кострома - Луч"	ТН-500	<20	0,00048	2100
			50	0,00733	140
2	"Луч - Нижегородская"	НДЕ-500	<20	0,00024	4160
			50	0,00468	210

Рекомендуемый [1] показатель надежности грозозащиты наиболее дорогого и ответственного подстанционного оборудования 500 кВ (силовых трансформаторов, автотрансформаторов и шунтирующих реакторов) составляет  $M = 800 \div 1000$  лет. Рекомендаций относительно значений  $M$  для трансформаторов напряжения 500 кВ в [1] нет, так же как их нет и для другого оборудования помимо «наиболее ответственного». Это означает, что основное внимание в [1] уделяется защите от грозовых перенапряжений наиболее дорогостоящего оборудования РУ, которым и являются силовые трансформаторы и автотрансформаторы.

Представленные в [1] рекомендации относительно достаточных величин показателя  $M$  основаны на приемлемом для энергосистемы числе повреждений наиболее дорогостоящего оборудования от грозовых перенапряжений в год. Однако, перерывы в снабжении потребителей электрической энергией могут быть вызваны повреждением не только силовых трансформаторов и автотрансформаторов, но и любого другого оборудования РУ, а с этих позиций экономически целесообразный уровень надежности защиты от грозовых перенапряжений должен быть достаточно высоким не только для наиболее дорого оборудования РУ, но и для всей подстанции в целом. Например, если на РУ учесть большое число трансформаторов тока, которые являются важнейшими в организации релейной защиты РУ и присоединенных ВЛ, то требуемый уровень защищенности каждого из них будет даже выше, чем для установленных силовых трансформаторов и автотрансформаторов. Принимая во внимание изложенное, а также большое число влияющих на результаты расчетов  $M$  исходных данных, достоверное знание и задание которых невозможно, в настоящее время в определенной мере назрел вопрос об изменении подходов к выбору схем защиты оборудования РУ от грозовых перенапряжений. Новые схемы защиты оборудования от грозовых перенапряжений, построенные с использованием современных защитных аппаратов типа ОПН, должны обеспечивать повышенную надежность всего оборудования РУ, а не только силовых трансформаторов. В качестве наиболее эффективных схем следует признать каскадные.

## 4. АНАЛИЗ НОРМАТИВНЫХ ДОКУМЕНТОВ И ПРЕДЛОЖЕНИЯ ПО ИХ КОРРЕКТИРОВКЕ

### 4.1. Анализ требований ПУЭ в части грозозащиты РУ

**Замена РВ на ОПН.** Изначально требования ПУЭ [3] в части грозозащиты РУ были сформулированы для случаев применения в качестве защитных аппаратов вентильных разрядников. В настоящее время основным защитным аппаратом от грозовых и коммутационных перенапряжений является ОПН [1,2,24-28]. Для случаев применения ОПН в ПУЭ расстояния, полученные для вентильных разрядников, предлагаются пересчитывать соразмерно с защитными характеристиками ОПН (остающимся напряжением в режиме ограничения грозовых перенапряжений).

В последней редакции ПУЭ в главе 4 в примечаниях к табл.4.2.10 (допустимые расстояния от вентильных разрядников до защищаемого оборудования) указано, что:

«*При использовании ОПН вместо РВ или при изменении испытательных напряжений защищаемого оборудования расстояние до силовых трансформаторов или другого электрооборудования определяется по формуле*

$$L_{\text{опн}} = L_{\text{РВ}} \frac{U_{\text{исп}} - U_{\text{опн}}}{U_{\text{исп}} - U_{\text{РВ}}},$$

где  $L_{\text{опн}}$  - расстояние от ОПН до защищаемого оборудования, м;  $L_{\text{РВ}}$  - расстояние от разрядника до защищаемого оборудования, м;  $U_{\text{исп}}$  - испытательное напряжение защищаемого оборудования при полном грозовом импульсе, кВ;  $U_{\text{опн}}$ ,  $U_{\text{РВ}}$  - остающееся напряжение на ОПН (РВ) при токе 5 кА - для классов напряжения 110-220 кВ; 10 кА - для классов напряжения 330 кВ и выше».

В условиях РУ 500 кВ ПС «Луч» для наиболее удаленного оборудования (ТН-500 кВ на ВЛ «Кострома - Луч») по ПУЭ имеем:  $U_{\text{исп}} = 1550$  кВ;  $U_{\text{РВ}} = 1200$  кВ;  $U_{\text{опн}} = 900$  кВ; допустимо увеличение расстояний в  $K = 1.86$  раза. Однако, как видно из рис.3.4 и рис.3.9, максимальные грозовые перенапряжения на удаленном оборудовании РУ (для ПС «Луч» 200 метров) практически не зависят от остающегося напряжения на защитных аппаратах, установленных в РУ, и, следовательно, расстояния до защитных аппаратов не могут быть увеличены (после замены РВ на ОПН), так как это снизит защищенность удаленного оборудования от грозовых перенапряжений [29].

Приведенная в ПУЭ формула достаточно точна в случае, когда пересчитывается расстояние от трансформатора до его защитного аппарата исчисляемое десятками метров. Наибольшую же ошибку, как показано выше, приведенная в ПУЭ формула дает при пересчете расстояний до наиболее удаленного оборудования подстанции (при расстояниях более 100 метров).

Недостаточная защищенность удаленного оборудования в типовых схемах РУ подтверждается опытом эксплуатации, свидетельствующим о повреждениях при грозовых перенапряжениях оборудования линейных ячеек. Наиболее часто при грозовых перенапряжениях отмечается повреждение измерительных трансформаторов напряжения электромагнитного типа, установленных на входе ВЛ в распределительное устройство. В сложившейся ситуации разрешенное в

ПУЭ при замене разрядников на ОПН увеличение расстояния от удаленного оборудования до защитных аппаратов представляется недопустимым.

Учитывая изложенное, при замене разрядников на ОПН рекомендуется использовать формулу ПУЭ только при пересчете расстояний до силовых трансформаторов, автотрансформаторов, но не до наиболее удаленного оборудования РУ (оборудования линейных ячеек), расположенного до защитного аппарата (РВ или ОПН) по ходу набегающих с присоединенных ВЛ грозовых волн.

В подтверждение состоятельности высказанных предложений выступает примечание к табл.4.2.8 в главе 4 из ПУЭ-6:

*«При использовании разрядников I группы вместо разрядников II группы по ГОСТ 16357-70 \* расстояния до силовых трансформаторов 150-220 кВ с уровнем изоляции по ГОСТ 1516.1-76 \* могут быть увеличены в 1,5 раза».*

Это примечание еще раз показывает, что при использовании у трансформатора защитного аппарата со сниженным остающимся напряжением пересчитывать расстояние можно только до силового трансформатора, а не для всего оборудования РУ, как это делается в ПУЭ-7 [3] и Указаниях [24].

**Длина тросового подхода.** ПУЭ обязывает обустраивать защищенный тросами подход ВЛ к РУ длиной вплоть до 3-4 км. Расчетами показано, что такое требование является избыточным, а при использовании каскадных схем защиты оборудования от грозовых перенапряжений можно снизить длину тросового подхода до 500-1500 м или вовсе отказаться от установки троса (для некоторых РУ 35-110 кВ). Поэтому предлагается в ПУЭ добавить пункт, который допускает снижать длину тросового подхода ВЛ в случае установки дополнительных ОПН в ее линейную ячейку.

**Активность грозовой деятельности.** Согласно [30] требования ПУЭ к расстояниям до защитных аппаратов сформулированы при 30 грозовых часах, в то время как по данным [1] для многих РУ на территории России следует принять 50-80 и более грозовых часов в год. Поэтому предлагается в ПУЭ дать примечание о том, что требования к расстояниям сформулированы при 30 грозовых часах и менее. В случае, если число грозовых часов более 30 в год, необходимо пропорционально снижать допустимые расстояния [30].

**Сопротивление заземления опор.** ПУЭ обязывает обеспечить сопротивление заземления опор присоединенных ВЛ на подходах к РУ не более 10, 15, 20 Ом в зависимости от удельного сопротивления грунта. Согласно опыту эксплуатации многие опоры ВЛ на подходах к РУ имеют сопротивление заземления более 20 Ом, что приводит к росту числа обратных перекрытий и, как следствие, росту числа опасных грозовых перенапряжений на оборудовании [31]. Поэтому предлагается в ПУЭ добавить пункт, который рекомендует в случае повышенных (более 20 Ом) сопротивлений заземления опор ВЛ на подходах к РУ устанавливать дополнительные ОПН, размещаемые в линейные ячейки ВЛ или на сборные шины; при этом, прежде всего, влияние сопротивления заземления на защищенность оборудования РУ заметно для сетей 35-330 кВ.

**Открытые распределительные устройства 110-220 кВ.** В ПУЭ-7 в главе 4 есть примечание к табл.4.2.10:

«Расстояния от вентильных разрядников до электрооборудования, кроме силовых трансформаторов, не ограничиваются при количестве параллельно работающих ВЛ: на напряжении 110 кВ - 7 и более; 150 кВ - 6 и более; 220 кВ - 4 и более».

Типовые РУ 110-220 кВ, как правило, выполняются по схеме «две системы шин с обходной» (межшинный выключатель нормально замкнут). Нередко длина сборных шин крупных РУ 110-220 кВ с большим числом присоединений превосходит 200 м. Учитывая реальные габариты таких РУ, воздушные линии, присоединенные к одной системе шин, физически (скорость волны конечна) не успевают повлиять на грозовые перенапряжения на оборудовании другой системы шин и оборудовании линейных ячеек присоединенных к ней ВЛ (см.[29]). Кроме того, следует помнить, что увеличение числа присоединенных ВЛ пропорционально увеличивает количество грозовых волн, набегающих на РУ.

Расчетами грозовых перенапряжений в РУ 110-220 кВ, которые здесь не приводятся, показано, что даже при большом числе присоединенных линий максимально допустимые расстояния до удаленного оборудования должны быть ограничены.

#### **Тип опор на подходах линий к распределительным устройствам.**

При формулировании требований ПУЭ полагалось, что на распределительное устройство с несколькими присоединенными воздушными линиями грозовая волна набегает только по одной, а в другие уходит, не создавая особо опасных перенапряжений, характерных для тупиковых схем вида «линия-трансформатор».

Заходы ВЛ во многие РУ классов 35-330 кВ выполнены двухцепными опорами. Удар молнии в трос или опору двухцепной ВЛ может дать обратное перекрытие с тела опоры на одноименные фазы разных цепей, т.е. в этом случае грозовые волны будут набегать на РУ не по одной линии, а одновременно по двум. Это является гораздо более тяжелым случаем по сравнению с рассмотренным при разработке ПУЭ, что подтверждается опытом эксплуатации.

## **4.2. Предложения по корректировке ПУЭ**

На основе проведенных расчетов и рассуждений сделаны следующие выводы и предложения, корректирующие требования ПУЭ в части защиты от грозовых перенапряжений оборудования РУ:

- как высокоэффективный способ защиты оборудования от грозовых (и коммутационных) перенапряжений в ПУЭ должны быть рекомендованы к использованию каскадные схемы, в которых защитные аппараты установлены на каждой присоединенной ВЛ 35-750 кВ вблизи от входа РУ («в линейной ячейке»);
- приведенные в таблицах ПУЭ максимально допустимые расстояния от оборудования до защитных аппаратов указаны при грозовой активности не более 30 грозовых часов в год; в случае, если число грозовых часов в районе расположения более 30 в год, допустимые расстояния должны быть снижены (например, пропорционально);

- при замене разрядников на ОПН разрешается пересчитывать приведенные в таблицах ПУЭ максимально допустимые расстояния от защитных аппаратов до силовых трансформаторов, автотрансформаторов; нельзя пересчитывать максимально допустимые расстояния от защитных аппаратов до наиболее удаленного оборудования РУ (оборудования линейных ячеек), расположенного до защитных аппаратов (РВ или ОПН) по ходу набегающих с присоединенных ВЛ грозовых волн;
- необходимо исключить примечание к табл.4.2.10 ПУЭ, допускающее не ограничивать расстояния до удаленного оборудования при большом числе присоединенных ВЛ 110, 150, 220 кВ; при большом числе ВЛ в качестве максимально допустимых расстояний от защитных аппаратов до удаленного оборудования можно принять те расстояния по ПУЭ, которые указаны при трех и более постоянного включенных ВЛ 110, 150, 220 кВ;
- допускается снижать длину тросового подхода ВЛ по сравнению со значениями, указанными в ПУЭ, особенно в случае установки дополнительных ОПН в ее линейную ячейку;
- в случае повышенных (более величины 20 Ом, принятой в ПУЭ за максимально допустимую) сопротивлений заземления опор ВЛ 35-330 кВ на походах к РУ в дополнение к ОПН, установленным в РУ у силовых трансформаторов и автотрансформаторов, необходимо устанавливать ОПН 35-330 кВ, размещаемые в линейные ячейки ВЛ или на сборные шины РУ.

## ЗАКЛЮЧЕНИЕ

В настоящее время в определенной мере назрел вопрос об изменении подходов к выбору схем защиты оборудования РУ от грозовых перенапряжений. Принимая во внимание все возрастающие требования к надежности электроснабжения, новые схемы защиты оборудования от грозовых перенапряжений, построенные с использованием современных защитных аппаратов типа ОПН, должны обеспечивать повышенную защищенность всего оборудования РУ от грозовых перенапряжений.

Учитывая это, актуальными представляются изложенные в параграфе 4.2 предложения по корректировке ПУЭ-7 в части выбора схем защиты изоляции оборудования 35-750 кВ от грозовых перенапряжений, которые базируются на следующих основных выводах, полученных в результате проведенных исследований:

- наибольшую опасность для оборудования РУ представляют грозовые перенапряжения, вызванные ударами молний в присоединенные ВЛ на расстоянии не более 500-1500 м от РУ (длина так называемого «опасного» подхода);
- удары молний в ВЛ на расстоянии более 500-1500 м от РУ практически не способны вызвать опасных грозовых перенапряжений на оборудовании РУ;
- для снижения числа прямых ударов молний в фазные провода, а значит и числа опасных грозовых перенапряжений на оборудовании РУ, на длине «опасного» подхода ВЛ к РУ необходима установка тросовой защиты;
- увеличение длины тросового подхода ВЛ к РУ свыше длины «опасного» подхода не изменяет (не повышает) защищенности оборудования РУ от грозовых перенапряжений;
- наименьшая длина тросового подхода ВЛ 35-750 кВ к РУ необходима на тех присоединенных ВЛ, в линейных ячейках которых (т.е. на ВЛ у входа РУ) установлены защитные аппараты (разрядники или ОПН);
- в некоторых случаях на подходах ВЛ 35-110 кВ допустимо не устанавливать трос, так как ОПН линейной ячейки берет на себя выполнение роли троса по снижению числа опасных волн, проходящих на распределительное устройство;
- число набегающих на РУ грозовых волн, вызванных ударами молний в опоры и тросы присоединенных ВЛ, существенно зависит от сопротивления заземления опор на подходах ВЛ к РУ; следовательно, защищенность оборудования РУ от грозовых перенапряжений так же существенно зависит от сопротивления заземления опор на подходах ВЛ к РУ;
- так как число ударов молний в опоры и тросы по крайней мере на порядок больше числа прорывов молний на фазные провода, то важнейшей задачей защиты оборудования РУ от грозовых перенапряжений является обеспечение как можно более низких сопротивлений заземления опор ВЛ на подходах к РУ;

- наиболее важно обеспечение минимальных сопротивлений заземления 2-3 ближайших к РУ опор присоединенных ВЛ;
- в случае невозможности обеспечения малых сопротивлений заземления ближайших к РУ опор присоединенной ВЛ высокой защищенности оборудования РУ от грозовых перенапряжений можно достичь установкой защитного аппарата (разрядника или ОПН) в линейной ячейке этой ВЛ;
- наименее защищенным оборудованием РУ является оборудование линейных ячеек присоединенных ВЛ (при отсутствии в них защитных аппаратов);
- наличие в линейной ячейке присоединенной ВЛ защитного аппарата (разрядника или ОПН) повышает защищенность от грозовых перенапряжений установленного в ней оборудования;
- наличие в линейной ячейке присоединенной ВЛ защитного аппарата существенно повышает защищенность установленных в РУ силовых трансформаторов и автотрансформаторов от грозовых перенапряжений, вызванных ударами молний в эту ВЛ;
- наиболее защищенным от грозовых перенапряжений будет оборудование того РУ, в котором в линейных ячейках присоединенных ВЛ установлены защитные аппараты; в таких РУ практически исключены повреждения изоляции силовых трансформаторов и автотрансформаторов от грозовых перенапряжений, вызванных набегающими с присоединенных ВЛ грозовыми волнами;
- установка защитных аппаратов на сборные шины РУ неэффективна с точки зрения ограничения грозовых перенапряжений и не рекомендуется с точки зрения надежности РУ, так повреждения такого аппарата вызывает серьезные последствия вплоть до полного погашения РУ;
- при снижении остающегося напряжения защитных аппаратов, установленных в РУ, максимальные грозовые перенапряжения на оборудовании снижаются;
- степень снижения грозовых перенапряжений на оборудовании (при заданном снижении остающегося напряжения защитных аппаратов) зависит от удаленности этого оборудования от защитных аппаратов и взаимного расположения оборудования и защитных аппаратов по ходу грозовых волн, набегающих с ВЛ на РУ;
- наибольшее снижение перенапряжений достигается для силовых трансформаторов и автотрансформаторов, так как они, как правило, наиболее близко расположены к защитным аппаратам и, кроме того, расположены после защитных аппаратов по ходу грозовых волн, набегающих с ВЛ на РУ;
- минимальное снижение перенапряжений характерно для наиболее удаленного от защитных аппаратов оборудования РУ, а также для оборудования, расположенного до защитных аппаратов по ходу грозовых волн, набегающих с ВЛ на РУ.

## СПИСОК ИСПОЛЬЗОВАННЫХ ИСТОЧНИКОВ

1. РД 153-34.3-35.125-99. Руководство по защите электрических сетей 6-1150 кВ от грозовых и внутренних перенапряжений/Под научной редакцией Н.Н.Тиходеева. –2-е изд. –СПб: ПЭИПК Минтопэнерго РФ, 1999. –355 с.
2. Костенко М.В., Ефимов Б.В., Зархи И.М., Гумерова Н.И. Анализ надежности грозозащиты подстанций. –Л.: «Наука», 1981. –128 с.
3. Правила устройства электроустановок. Издание 7-е. –М.: Энергоатомиздат, 2004.
4. Правила технической эксплуатации электрических станций и сетей. Издание 15-е. – М.: Энергоатомиздат, 1996. –288 с.
5. EMTP Rule book. Bonneville Power Administration, Branch of System Engineering. Portland, Oregon 97208-3621, USA ([www.emtp.org](http://www.emtp.org)).
6. Dmitriev M.V., Evdokunin G.A., Gamilko V.A. EMTP Simulation of the secondary arc extinction at overhead transmission lines under single phase automatic reclosing//2005 IEEE St.Petersburg PowerTech Proceedings, June 27-30, 2005, Report №15.–ISBN 5-93208-034-0.
7. Дмитриев М.В., Евдокунин Г.А. Моделирование процессов в цикле ОАПВ с использованием программного комплекса EMTP//Сборник докладов международной научно-технической конференции “Перенапряжения и надежность эксплуатации электрооборудования”, 05-09 апреля 2004 года, выпуск №3, Минск.: Изд-во ПЭИПК Минтопэнерго РФ, С-Петербург, 2004. –380 с.
8. Дмитриев М.В., Евдокунин Г.А. Максимальные кратности грозовых перенапряжений на подстанции//Известия РАН: Энергетика. –2004. –№2. –с.108-116.
9. Вольпов К.Д., Созинов А.В., Халилов Ф.Х. Результаты измерений входной емкости трансформаторов и реакторов 35-750 кВ//Электрические станции. –1982. –№9. –с.60-61.
10. Кадомская К.П., Рейхердт А.А. Влияние способа моделирования ОПН и волны тока молнии на энергетические характеристики защитных аппаратов, установленных на опорах ВЛ//Электромеханика и Электроэнергетика: Научный вестник НГТУ. –2002. –№1(12), –с.91-100.
11. Базуткин В.В., Кадомская К.П., Костенко М.В., Михайлов Ю.А. Перенапряжения в электрических системах и защита от них. Учебник для вузов. –СПб.: Энергоатомиздат, Санкт-Петербургское отд-ние, 1995. –320 с. –ISBN 5-283-04423-8.
12. ГОСТ 1516.3-96. Электрооборудование переменного тока на напряжение от 1 до 750 кВ. Требования к электрической прочности изоляции: Межгос. стандарт. –Введ. 01.01.99. –М.: ИПК Издательство стандартов, 1998. –50 с.
13. Справочник по электрическим установкам высокого напряжения/под ред. И.А. Баумштейна, С.А. Бажанова. –М.: Энергоатомиздат, 1989. –767 с.
14. Anderson J.G. Lightning Performance of Transmission Lines//Transmission Line Reference Book 345 kV and Above: Chapter 12. –EPRI, 3412 Hillview Avenue, Palo Alto, California, 1992. –с.545-597.
15. Костенко М.В., Мессерман Д.Г. Деформация волн грозовых перенапряжений в линиях передачи сверх и ультравысокого напряжения при большой длине пробега//Известия академии наук СССР: Энергетика и транспорт. –1987. –№3. –с.158-164.
16. Костенко М.В., Кадомская К.П., Левинштейн М.Л., Ефремов И.А. Перенапряжения и защита от них в воздушных и кабельных электропереходах высокого напряжения. –Л.: «Наука», Ленинградское отд-ние, 1988. –302 с. –ISBN 5-02-024434-1.
17. Базелян Э.М., Райзер Ю.П. Физика молний и молниезащиты. –М.: ФИЗМАТЛИТ, 2001. –320 с. –ISBN 5-9221-0082-3.
18. Кадомская К.П., Борисов Е.А. О моделировании волн тока молний при исследовании грозозащиты электроэнергетических объектов//Сборник научных трудов НГТУ. –2003. –№2(32). –с.89-98.
19. Дмитриев В.Л., Дмитриев М.В. Параметры разряда молний в задачах грозозащиты//Известия РАН: Энергетика». –2005. –№4. –с.54-61.

20. IEEE Std 1243-1997. IEEE Guide For Improving the Lightning Performance of Transmission Lines//The Institute of Electrical and Electronics Engineers, Inc. –New York, 1997. –36 p. –ISBN 1-55937-937-5.
21. Ларионов В.П., Колечицкий Е.С., Шульгин В.Н. Расчет вероятности прорыва молнии сквозь тросовую защиту//Электричество. –1981. –№5. –с.19-23.
22. Базелян Э.М. Влияние рабочего напряжения на вероятность прорыва молнии к проводам воздушных линий//Электричество. –1981. –№5. –с.24-27.
23. ГОСТ 16357-83. Разрядники вентильные переменного тока на номинальное напряжение от 3,8 до 600 кВ. Общие технические условия: Межгос. стандарт. –Введ. 01.07.84. –М.: Издательство стандартов, 1983. –26 с.
24. Методические указания по применению ограничителей в электрических сетях 110-750 кВ. – М.: Изд-во НТК “Электропроект”, 2000. –68 с.
25. Дмитриев В.Л., Дмитриев М.В. Защита оборудования подстанций 110-750 кВ от перенапряжений//Новости Электротехники. –2004. –№6(30). –с.42-45.
26. Аронов М.А., Аношин О.А., Кондратов О.И., Лопухова Т.В. Ограничители перенапряжений в электроустановках 6-750 кВ. Методическое и справочное пособие. Под ред. М.А. Аронова. –М.: Изд-во “Знак”, 2001. –240 с. –ISBN 5-87789-013-1.
27. Лысков Ю.И., Антонова Н.П., Максимов В.М., Демина О.Ю. Проблемы применения нелинейных ограничителей перенапряжений 110-750 кВ//Электрические станции. –1988. –№ 9. –с.43-47.
28. Иманов Г.М., Таджибаев А.И., Халилов Ф.Х. Анализ опыта эксплуатации ограничителей перенапряжений 110 кВ и выше в сетях РАО “ЕЭС России//Промышленная энергетика. – 1998. –№ 1. –с.11-14.
29. Дмитриев М.В. Оценка защищенности оборудования подстанций от грозовых перенапряжений и анализ требований ПУЭ в части расстановки защитных аппаратов//Сборник докладов научно-технической конференции «Нелинейные ограничители перенапряжений: производство, технические требования, методы испытаний, опыт эксплуатации, контроль состояния», 5-10 декабря 2005. –СПб.: Изд-во ПЭИПК Минтопэнерго РФ, 2005. –164 с.
30. Гумерова Н.И. Проектирование грозозащиты ОРУ станций и подстанций//Сборник докладов 8-й научно-технической конференции по электромагнитной совместимости и электромагнитной безопасности «ЭМС-2004». –СПб., 2004. –с.69-74.
31. Гумерова Н.И., Ефимов Б.В., Невретдинов Ю.М. Повышение эффективности грозозащиты подстанций 330 кВ в регионах с высокоомными грунтами//Сборник докладов 8-й научно-технической конференции по электромагнитной совместимости и электромагнитной безопасности «ЭМС-2004». –СПб., 2004. –с.65-69.

ЗАО «Завод энергозащитных устройств»  
Россия, 197342, Санкт-Петербург,  
Красногвардейский пер., д.8  
тел.(812) 295-15-01, 438-10-86  
факс.(812) 327-64-15  
[www.zeu.ru](http://www.zeu.ru)  
[opn@zeu.ru](mailto:opn@zeu.ru)